

第8章 总体布线 (Global Routing)



8.4.1 总体布线问题

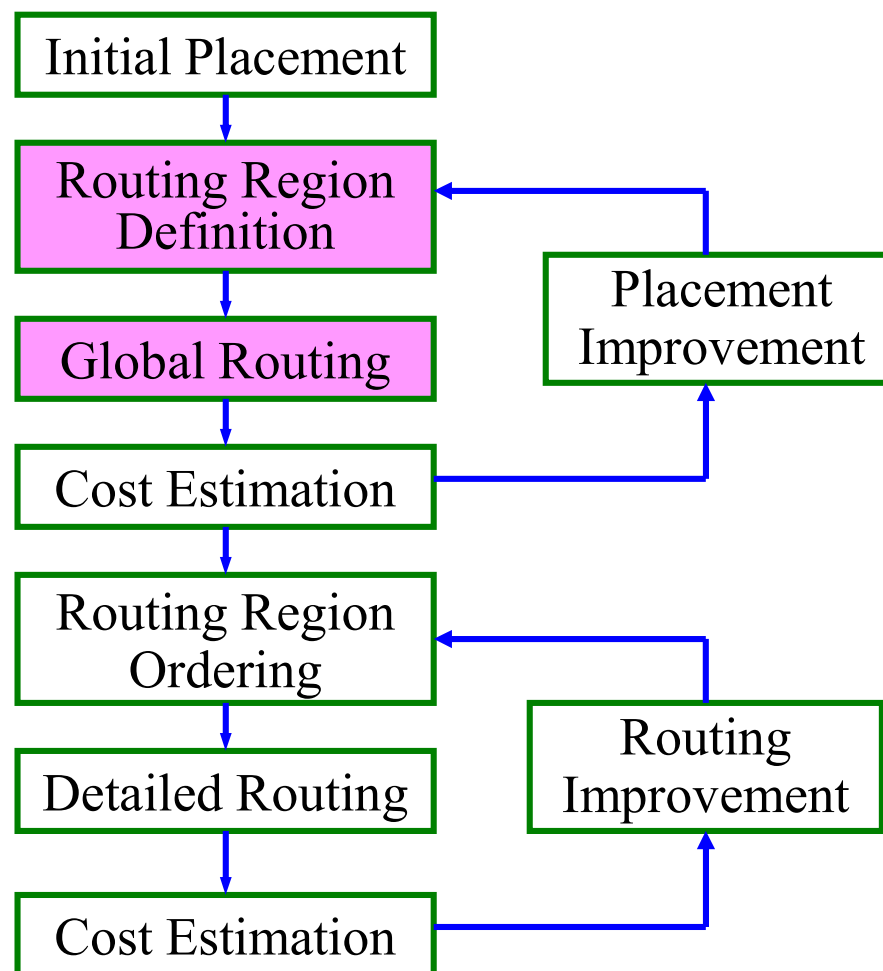
8.4.2 总体布线算法的分类

8.4.3 总体布线图上的斯坦纳树算法

8.4.4 总体布线算法



Placement and Routing Flow Review





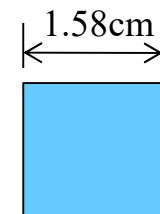
8.4.1 总体布线问题

◆ 目的:

- ❖ 确定每一条线网的拓扑结构，完成线网走线通道的分配。

◆ 目标:

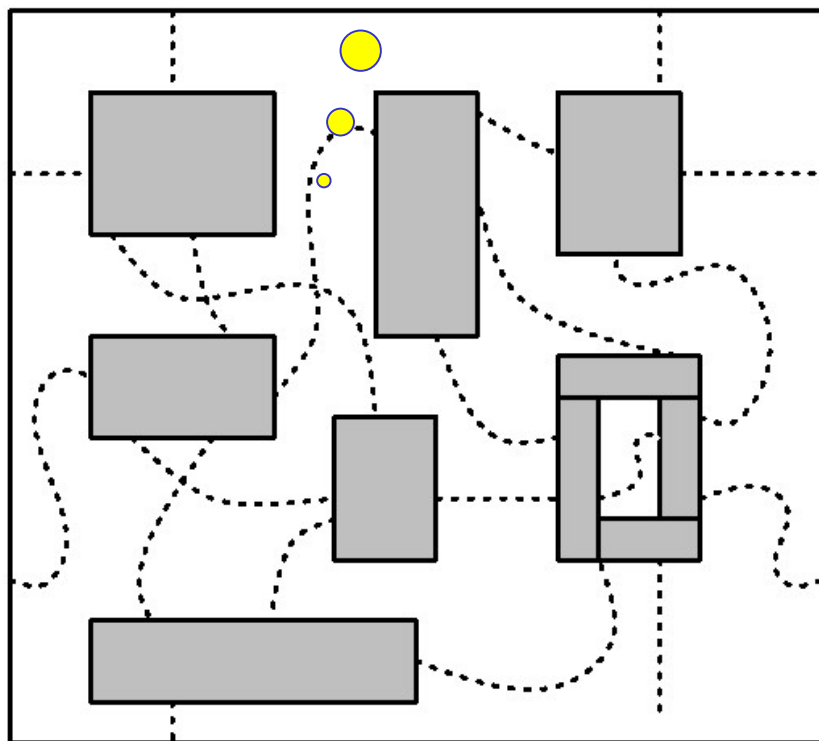
- ❖ 保证整个布线设计的布线完成率;
- ❖ 整个布线设计完成后芯片的面积尽可能小，连线总长度最短;
- ❖ 关键线网长度最短或芯片时延最小;



◆ 面临的挑战:

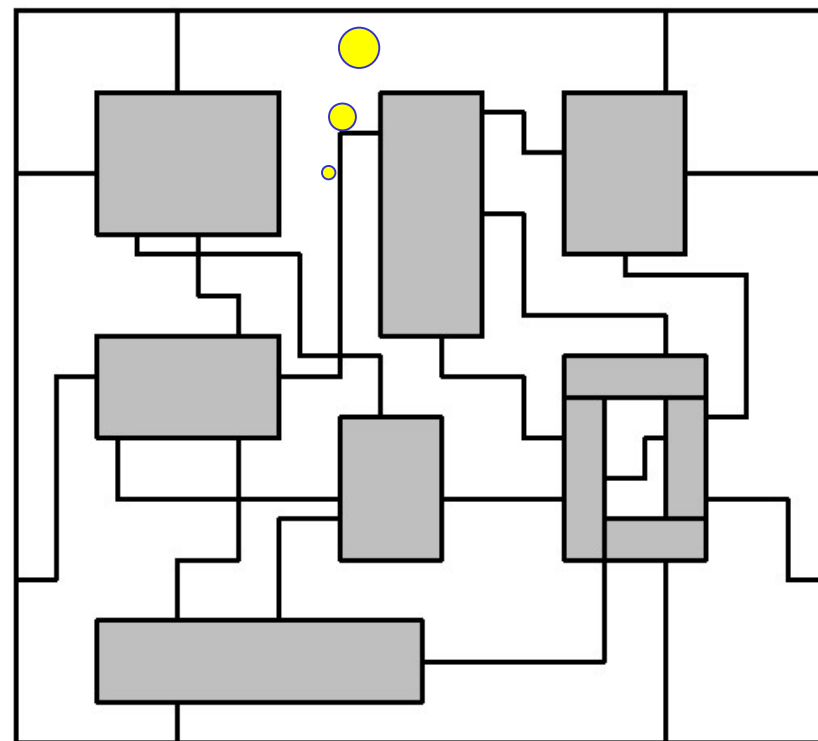
- ❖ 2.5cm^2 的芯片 70nm 工艺下，将达到 $360,000 \times 360,000$ 轨道数， 600×600 总体布线区域规模，以及性能需求。

大致路线，
通道级别



Global Routing
(a)

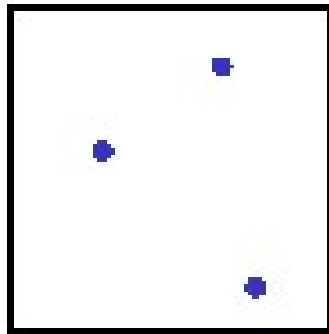
具体走线，
轨道级别



Detailed Routing
(b)

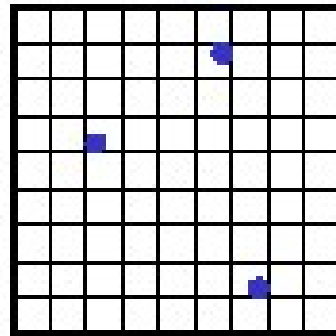


Routing Region



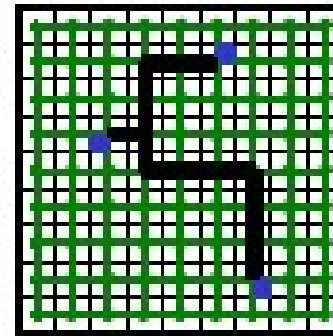
Chip with
1,000,000 nets
(showing only
three terminals
of one net)

Global Routing



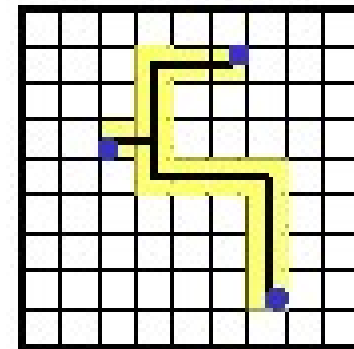
300×300 grid
graph of “gcells”
with capacities

Capacities take
pre-routed nets
and blockages
into account.



Find Steiner trees
in grid graph for
all nets regarding
capacities.

Detailed Routing



Detailed routing is
performed in small
“sboxes”

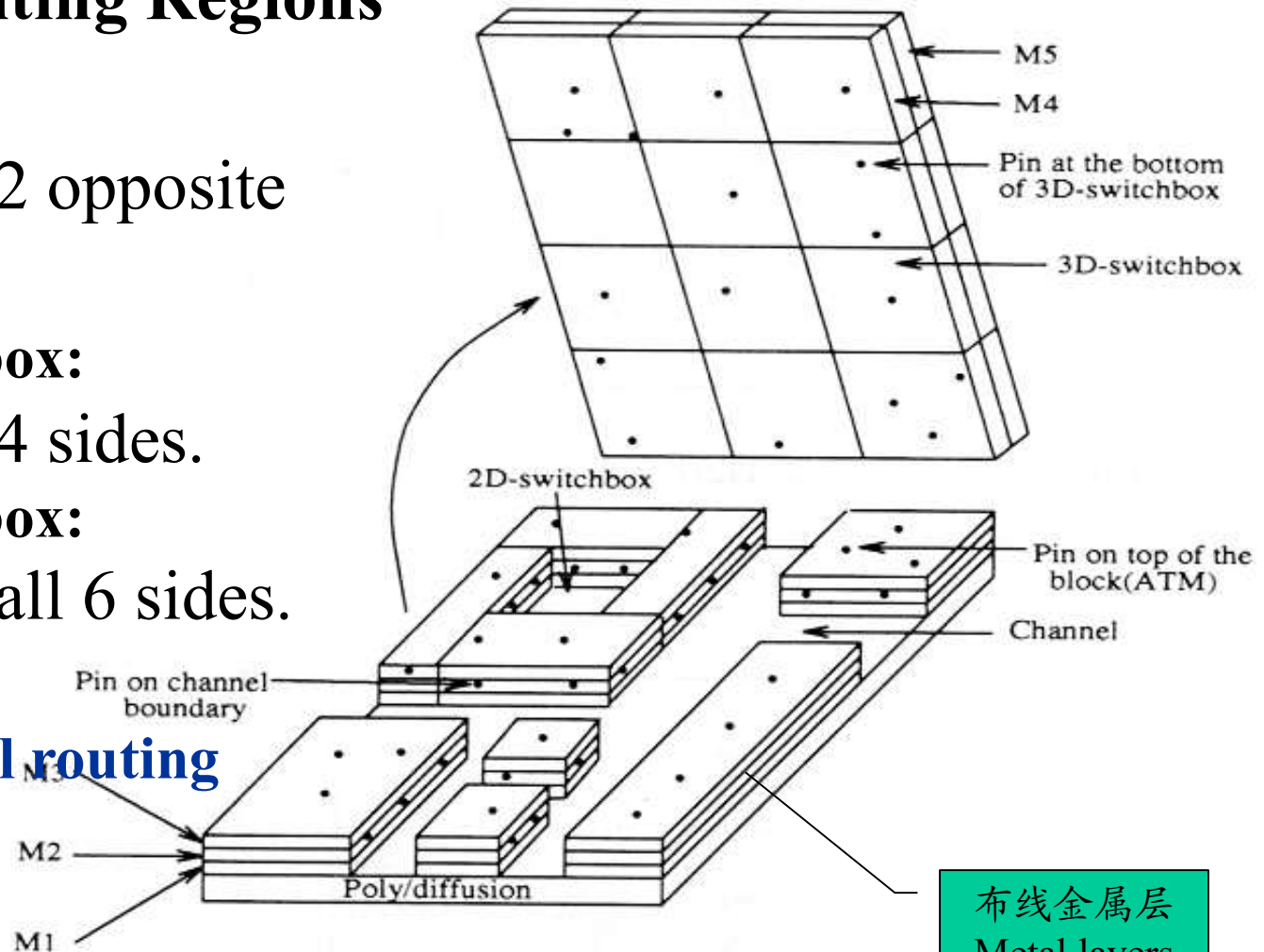
布线问题



3 Types of Routing Regions

- **Channel:**
 - Pins on 2 opposite sides.
- **2-D Switchbox:**
 - Pins on 4 sides.
- **3-D Switchbox:**
 - Pins on all 6 sides.

■ Over the cell routing

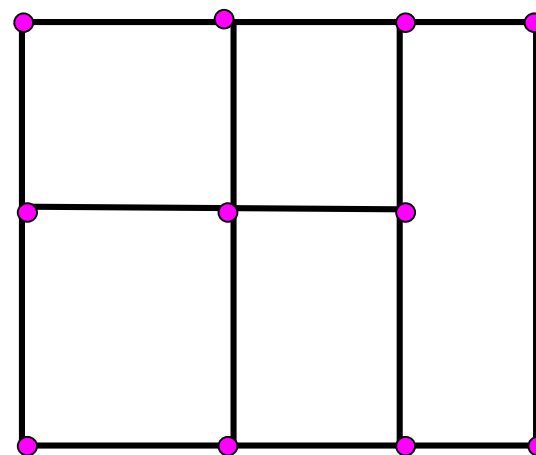
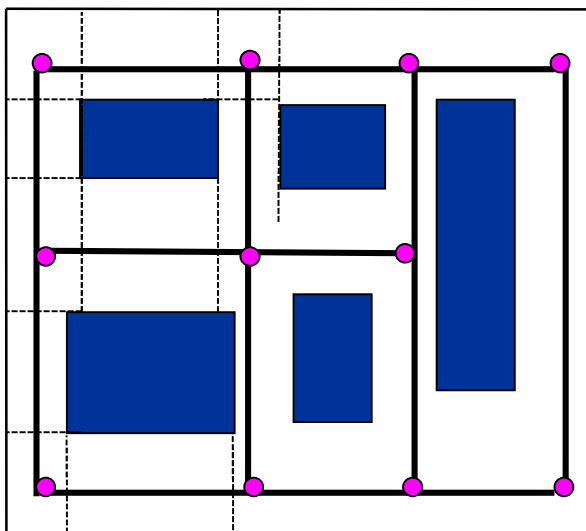




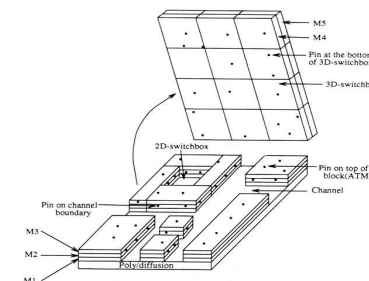
8.4.1.1 总体布线图

定义6.1: $G=(V, E)$ 是一个布图规划图, 其中 $\forall v_i \in V$ 表示版图中的一个通道与另一个通道的相交点; 若 $\forall v_i, v_j \in V$, 且 $\exists e_{ij} \in E$ 是图 G 上对应的一个布线通道段, 则称 v_i 与 v_j 在布图规划图 G 中相邻。

若 $e \in E$, 假设 $c(e)$ 、 $l(e)$ 分别表示边 e 相对应的通道容量和长度。

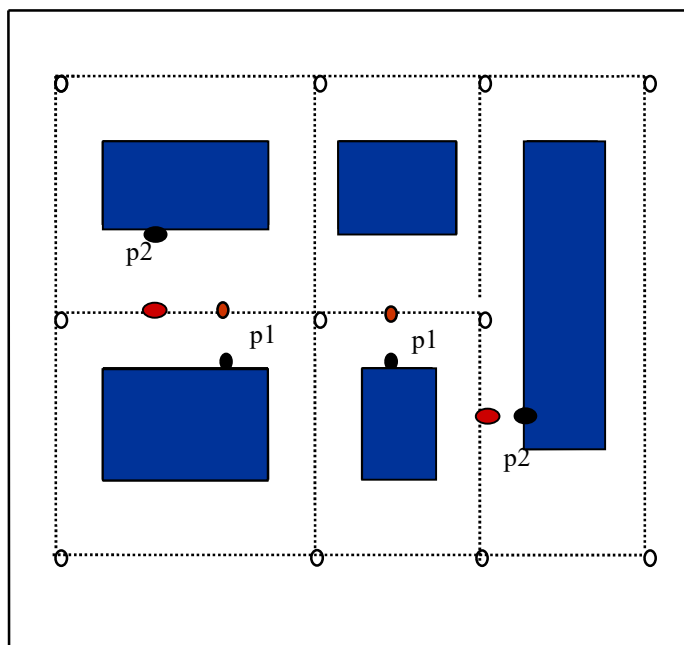
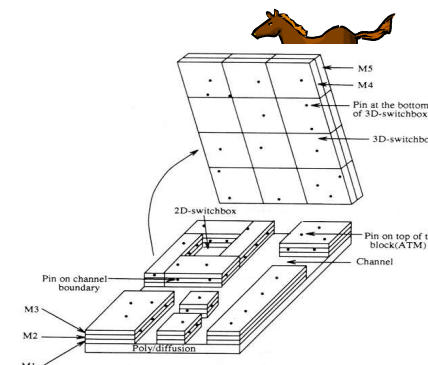


布图规划图

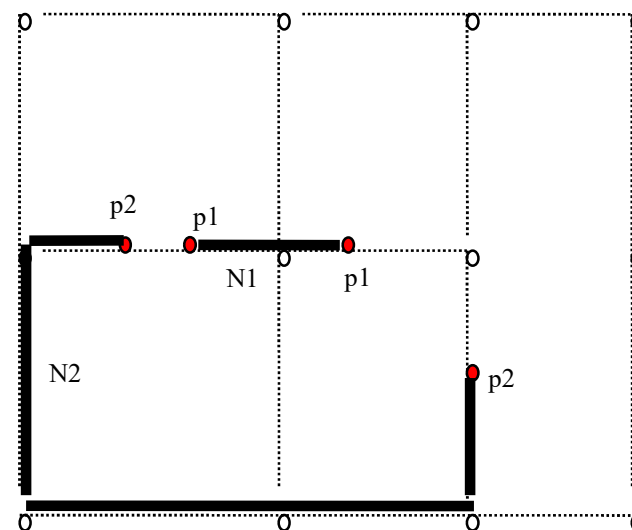


总体布线图：

- ❖ 带有布线需求信息的总体布线图；
- ❖ 需要在总体规划图上，完成线网端点到规划图节点的映射；
- ❖ 必要时增加新的规划图节点，用于表示线网端点。



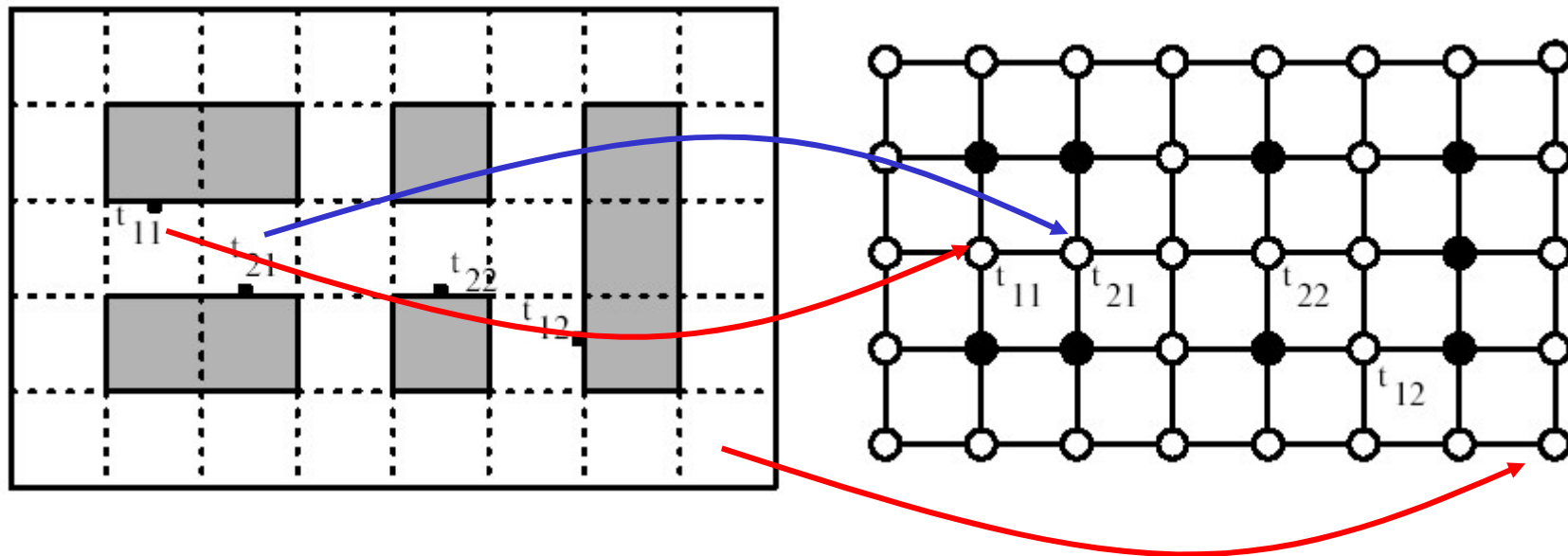
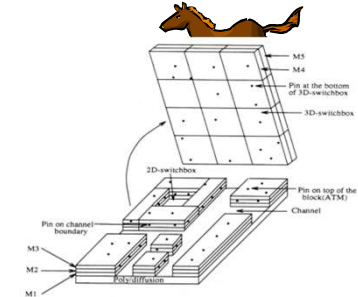
布图规划图



总体布线图建模

Global Routing Graph Model

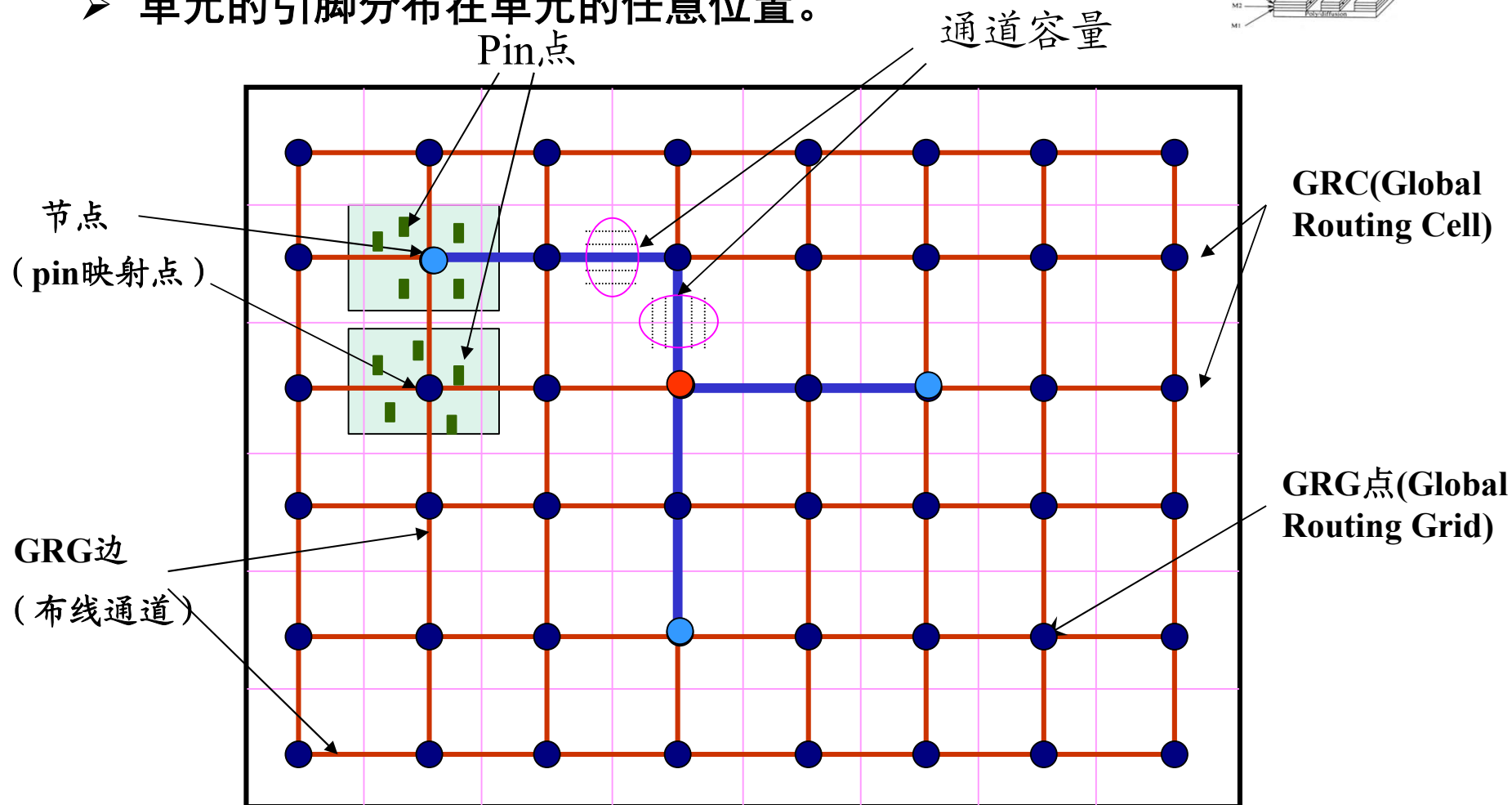
Grid Graph Model



- Each cell is represented by a vertex.
- Two vertices are joined by an edge if the corresponding cells are adjacent to each other.
- The occupied cells are represented as filled circles, whereas the others are as clear circles.

多层布线工艺布图模式:

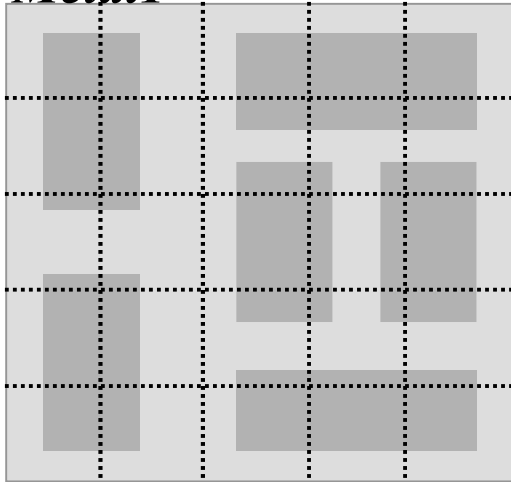
- 单元的引脚分布在单元的任意位置。



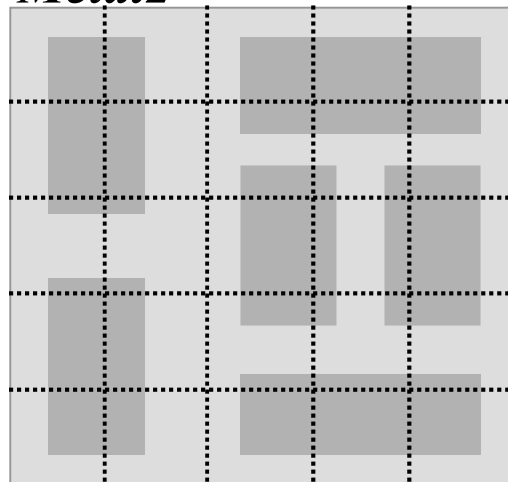
Gcells (Tiles) with macro cell layout

Grid Graph Model – 2D 

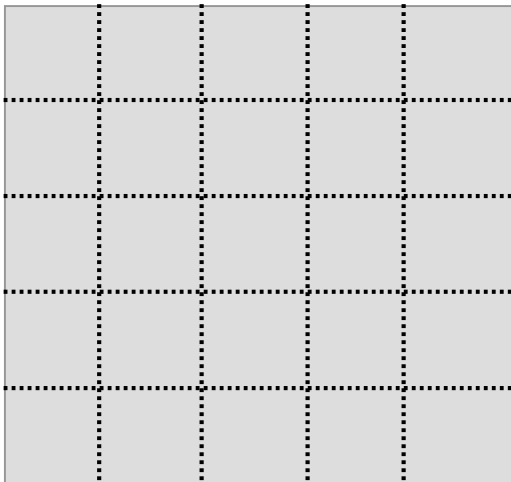
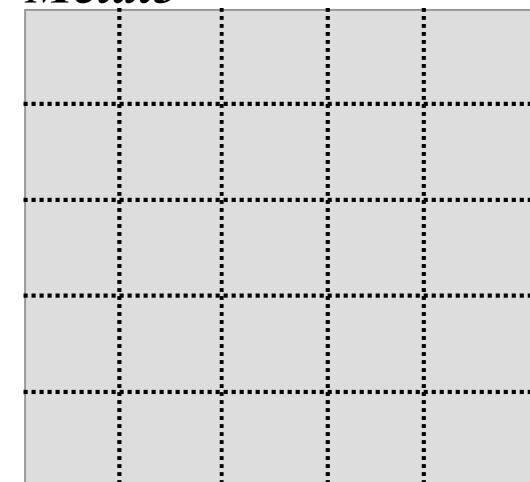
Metal1



Metal2

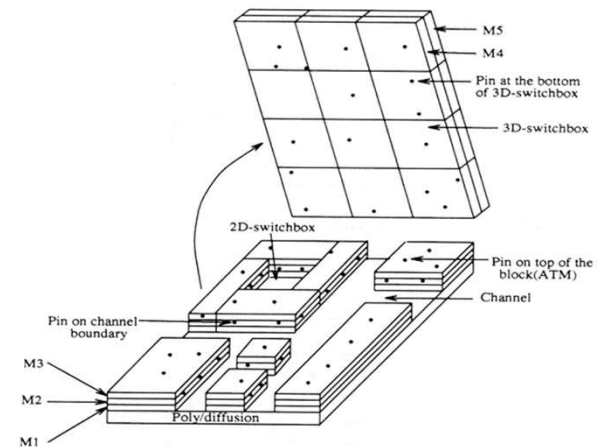


Metal3



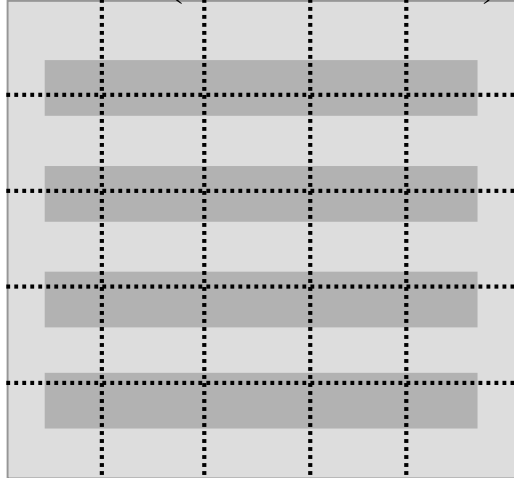
2024 ***Metal4***

etc.

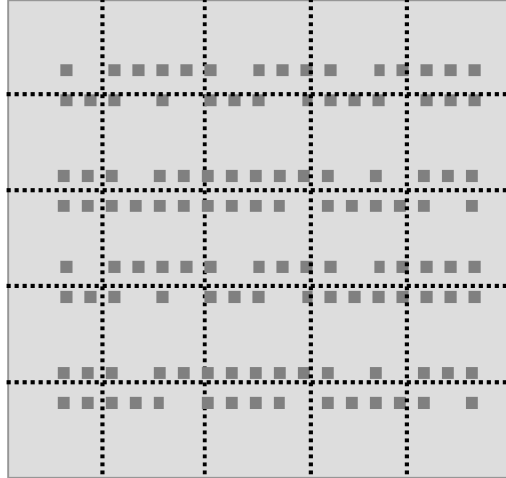


Gcells (Tiles) with standard cells

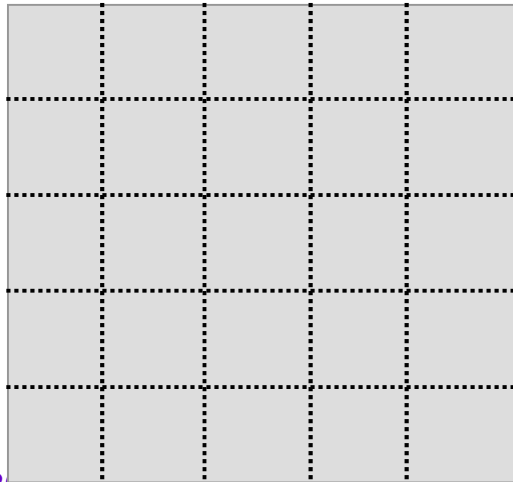
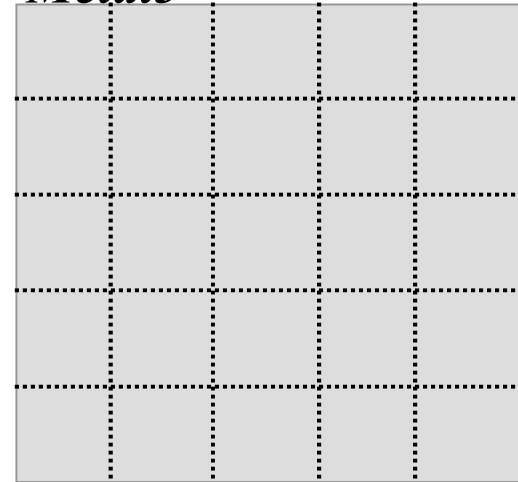
Metal1(Standard cells)



Metal2(Cell ports)

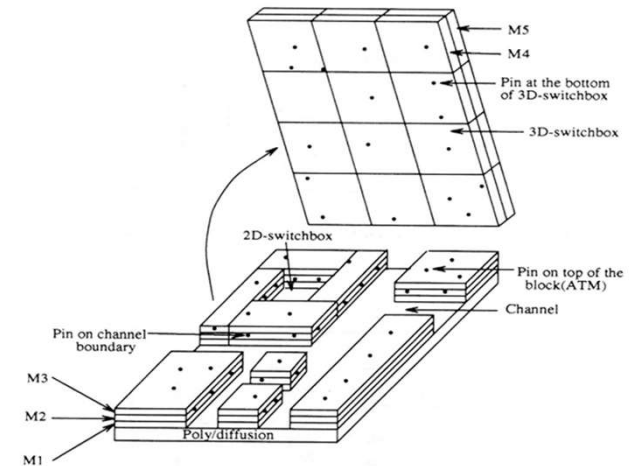


Metal3



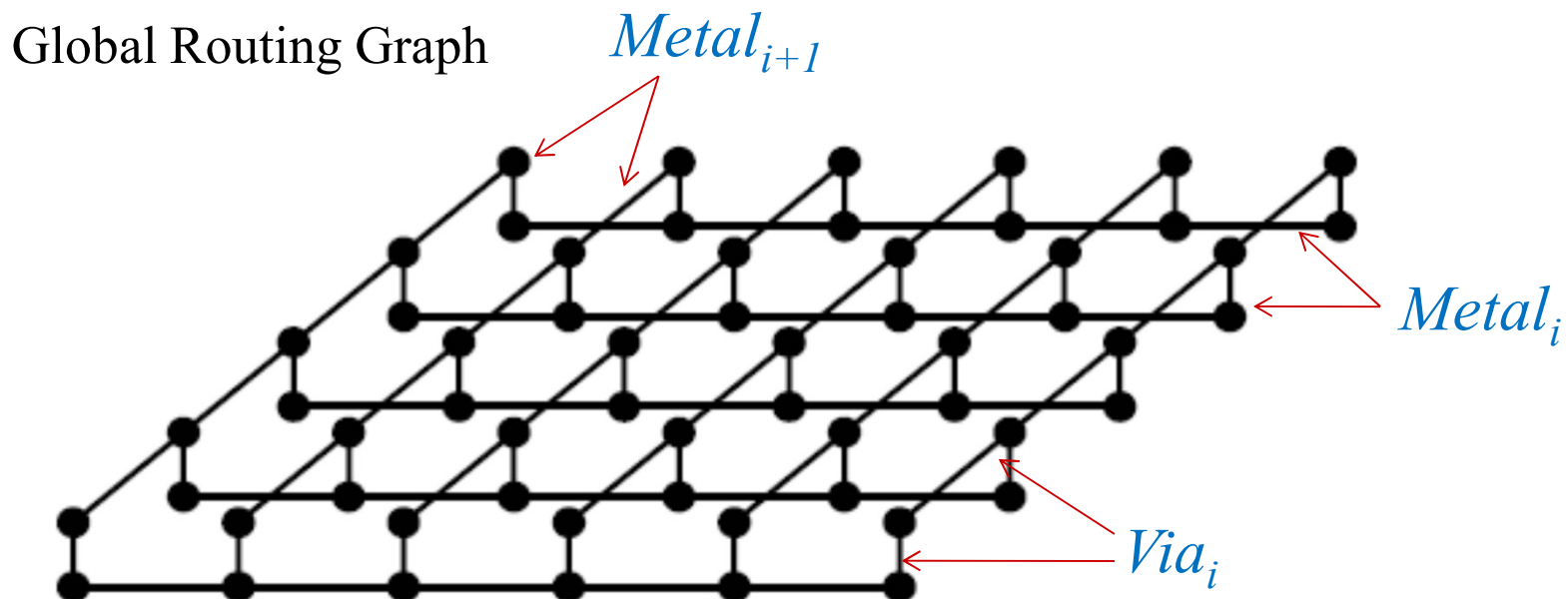
2024/5/24
Metal4

etc.





Grid Graph Model – 3D



Planes (= layers) and edges between planes to model via costs

- Sometimes all layers can be flattened into one H layer and one V layer, but this is less common today

Andrew B. Kahng, abk@ucsd.edu



8.4.2 总体布线算法的分类

- 总体布线算法分类：

- ❖ 从布图模式或从对象分类：

- 门阵列；
 - 标准单元；
 - 积木块BBL方法；
 - 多层布线模式。

- ❖ 从算法优化目标分类：

- 以总线长最小为目标（芯片面积最小）；
 - 以最大布线密度最小为目标（布线均匀）；
 - 以性能优化为目标。

- ❖ 从算法本身的性质分类：

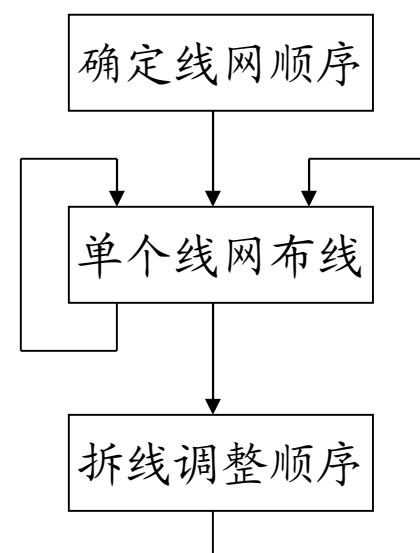
- 串行算法；
 - 并行算法。



8.4.2.1 串行算法

◆ 布线策略:

- ❖ 按照设定的顺序，对每个线网逐一进行布线，一次只完成一条线网的布线；
- ❖ 在新的布线资源情况下，进行线网布线；
- ❖ 存在布线结果对线网布线次序的依赖性问题（Order Dependent Problem）；
- ❖ 新的线网遇到堵塞无法布通时，采用拆线的策略，拆除部分已布线网，调整剩余布线顺序重新布线；
- ❖ 存在布线设计收敛，以及布通率问题。



◆ 确定线网布线顺序的原则:

- ❖ 关键性高的线网先布；
- ❖ 引脚数少的线网优先于引脚数多的网；
- ❖ 覆盖区域小的线网优先于覆盖区域大的网。



◆ 串行布线用到的算法:

❖ 两端线网算法:

- 迷宫算法 (Maze routing)
- 线搜索算法 (Line-probe)
- 最短路径算法 (Shortest path)
- 模式布线 (Pattern Routing)

❖ 多端线网算法:

- 斯坦纳树算法 (Steiner tree)
- 带有拥挤度分析的最小代价Steiner树的串行布线算法。



8.4.2.2 并行算法

◆ 解决面临的两个关键问题:

- ❖ 布线通道拥挤的不可预见性;
- ❖ 布线结果对布线顺序的依赖性。

◆ 常见的并行算法:

- ❖ 层次式整数规划方法;
- ❖ 网络流方法;
- ❖ 层次布线算法。



8.4.3 总体布线图上的斯坦纳树算法

◆ 总体布线阶段面临的问题是进行线网的互连优化。

❖ 最基本的任务是为每一条线网寻求最优化的拓扑树结构，实现线网连线长度最短（或其它目标最优）。

◆ 两种基本的互连拓扑优化技术

❖ 最小生成树（Minimum Spanning Trees, MST）

Kruskal's algorithms 和 Prim's algorithms

——复杂度在 $O(n \log n)$

❖ 最小斯坦纳树（Steiner Minimal Trees, SMT）

◆ 采用矩形网格总体布线图上的斯坦纳树生成算法



定义8.4.5: 一棵斯坦纳树ST中, 若ST树中的每条边均是直角矩形边, 则此ST被称为矩形斯坦纳树**RST** (Rectilinear Steiner Trees)。

◆VLSI设计中的斯坦纳树问题

- ❖ 给定一条互连线网的端点集合 P , 在版图上寻找一个斯坦纳点的集合 S , 使得由节点集合 $(P \cup S)$ 形成的最小生成树的代价最小。

◆VLSI中的斯坦纳树问题同样是NP-hard问题

- ❖ 只能通过寻求近似算法求解斯坦纳树问题。

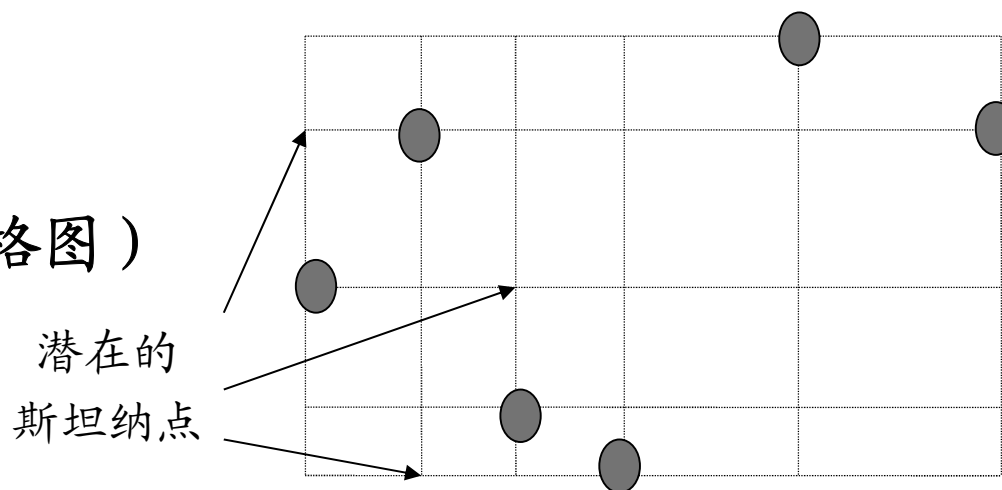


VLSI设计中斯坦纳树的特性（一）

◆ Hanan点现象

- ❖ Hanan于1966年研究发现，以线网的每一个端点为基点，画水平和垂直坐标线，形成的网格称为Hanan网格，网格的交点称为Hanan点。那么，线网的斯坦纳点将会出现在这些Hanan点上。

◆ Hanan网格 (也称为基础网格图)





VLSI中斯坦纳树的特性（二）

◆最小生成树MST树与最小斯坦纳树SMT树

- ❖ Hwang于1976年研究发现，矩形MST树长度与矩形SMT树长度的比值不会超过3/2。

$$\frac{L_{\text{MST}}}{L_{\text{RSMT}}} \leq \frac{3}{2}$$

- ❖ 基于这个现象，最小生成树MST成为很多斯坦纳树启发式算法的基础。
- ❖ 可以通过最小生成树的矩形化来获取斯坦纳树的初始构形。



8.4.3.1 基于最短路径树的斯坦纳树算法

◆ 算法思想

- ❖ 利用**最短路径算法**求解两个端点之间的布线路径;
- ❖ 多端线网的布线问题可分解成一系列两端线网的布线问题。
这样, 多端线网的斯坦纳树问题就变成一系列两点间的最短路径问题。

◆ 总体布线图上的最短路径问题

- ❖ 在总体布线图 $G=(V, E, W)$ 上, 相邻顶点 v_i, v_j 的边 e_{ij} 的长度为 w_{ij} , 在 G 图上寻找连接指定两点的一条最短路径。
- ❖ 算法的时间复杂度为 $O(N^2)$ 。

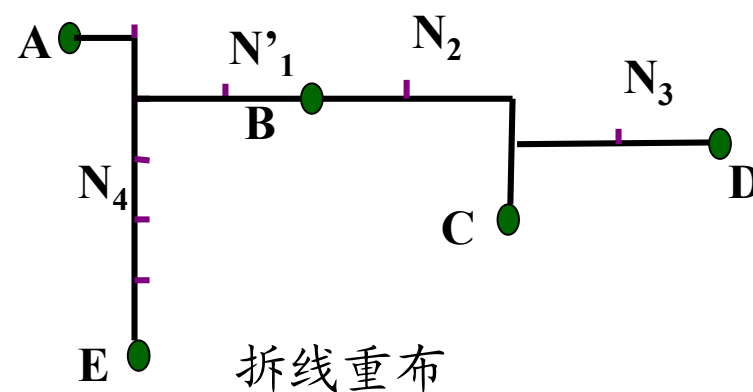
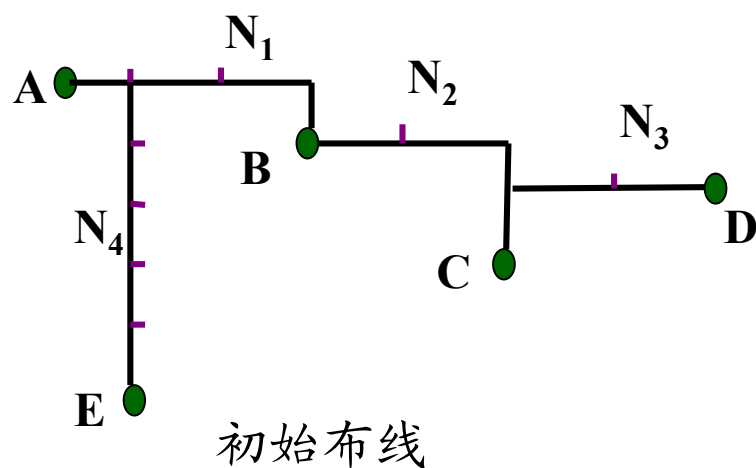
◆ 求解方法

- ❖ 迷宫算法;
- ❖ 线探索法。



算法示例说明:

- 用改进的两点路径算法;
- 从某个端点出发, 每次只连接一个端点;
- 用已经完成的连接路径作为起始源点, 向目标点进行扩展;
- 用拆线重布的方法改进连接路径质量。





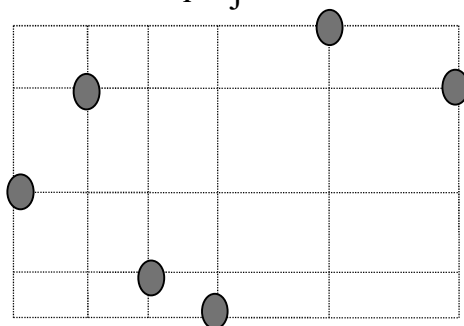
8.4.3.2 基于最小代价生成树的斯坦纳树算法

◆ 算法思想

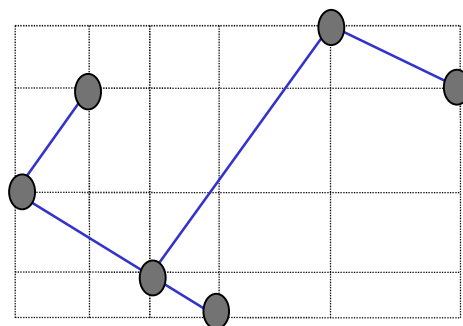
- ❖ 利用最小代价生成树算法求解多端点线网的最小生成树(MST)树;
- ❖ 对所求出的MST树的每一条边进行矩形化。

◆ 算法说明

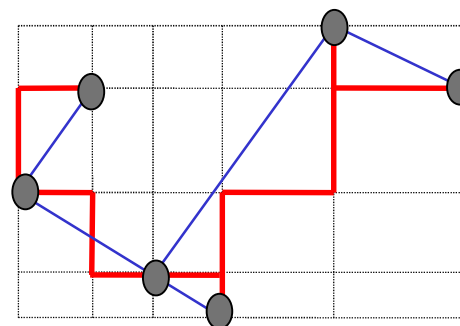
S 为待布线网, $G(S)$ 为基础网格图, MST是其最小生成树, 对每条边的矩形转化产生一棵近似的MRST树。如果树 T 的一条边 e_{ij} 是在 $G(S)$ 上通过 v_i, v_j 间最短距离的矩形边化, 称为阶梯式边(Staircase)布图。



待布线网 S 和 $G(S)$



最小生成树MST



矩形化斯坦纳树



◆ 边矩形化过程中重叠边消除效果

- ❖ 同一条MST边，存在多种矩形化方式；
- ❖ MST边的矩形化将会产生一定的边重叠；
- ❖ 重叠边的消除将会使得所产生的矩形化斯坦纳树RST的线长减少。

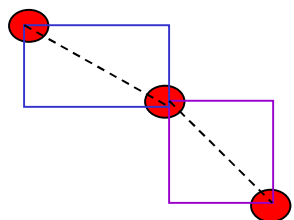
◆ 利用重叠边合并操作，生成RST树算法思想

- ❖ 求解最小生成树；
- ❖ 不断寻求有**最大重叠**的MST边矩形化操作。

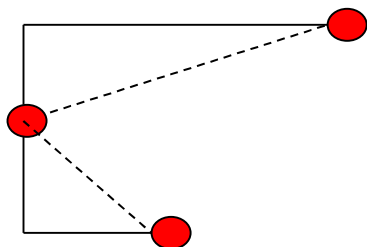




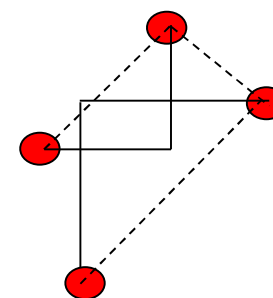
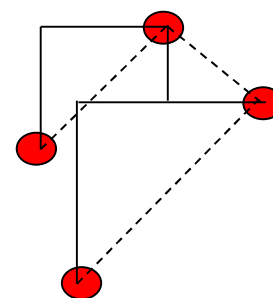
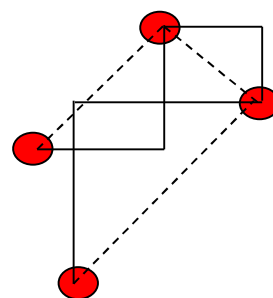
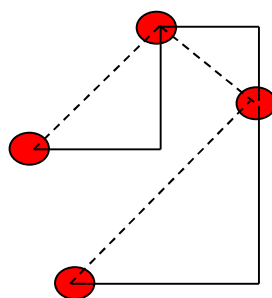
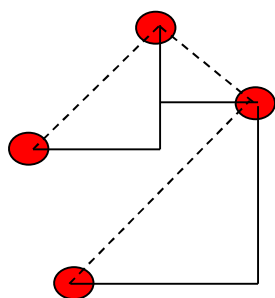
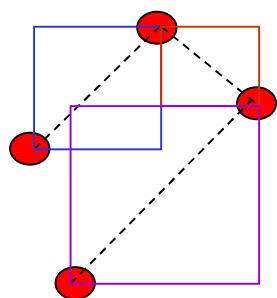
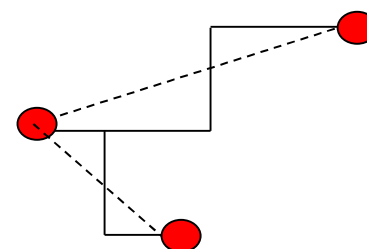
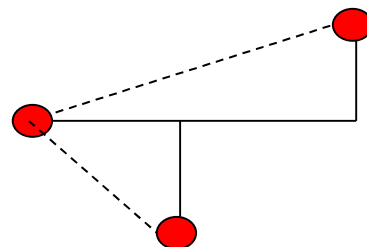
重叠消除时的边形状组合问题:



两条边互不相关



两条边相互关联



三条边相互关联



8.4.3.3 基于可分离性的RST树算法

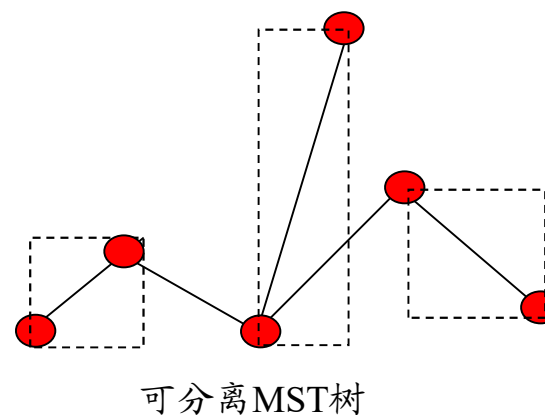
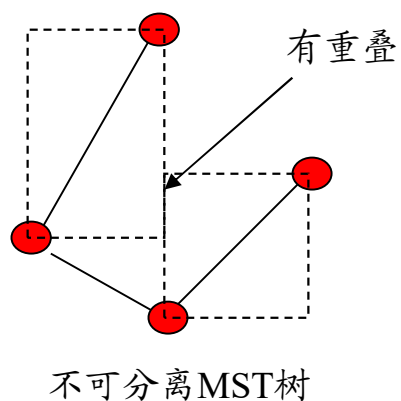
- ◆ Ho于1990年提出通过边的合并产生优化RST树的算法
 - ❖ 当MST具有可分离性性质时，可从MST得到一棵优化的S-RST树。

J. M. Ho, G. Vijayan and C. K. Wong, A New Approach to the Rectilinear Steiner Tree Problem, IEEE Trans. on CAD, 1990, 9(2), 185-193



定义8.4.8: 若在阶梯式布线中，两条不相邻的边的布线结果不会产生相交或重叠，则称这两条边是可分离的。

定义8.4.9: 若MST中的所有不相邻的边两两均满足可分离性，则称这棵MST树是满足可分离性的MST，记为SMST。





◆ 满足可分离性MST树是可构造的

- ❖ 用 $(dist(i, j), -|y(i)-y(j)|, -max(x(i), x(j)))$ 作边权;
- ❖ 利用改进的Prim算法可在MST上求得满足可分离性的SMST树;
- ❖ 线长没有变化。

◆ RST树构造算法分两步完成:

第一步: 针对已给定的一条线网 N_p , 通过应用改进的Prim算法, 在 $O(|N_p|^2)$ 时间复杂度下构造一棵满足可分离性的SMST树;

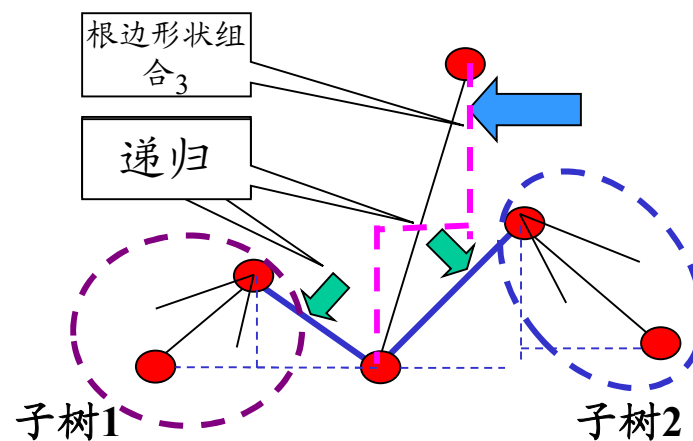
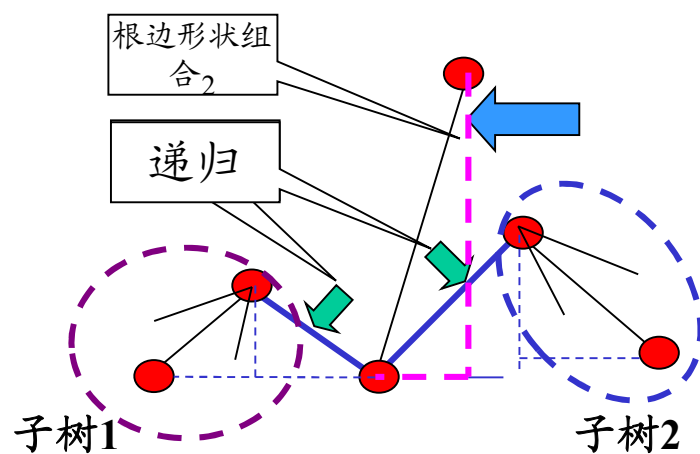
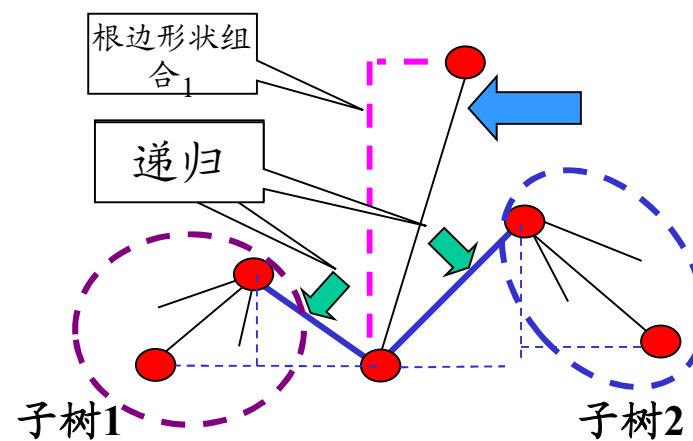
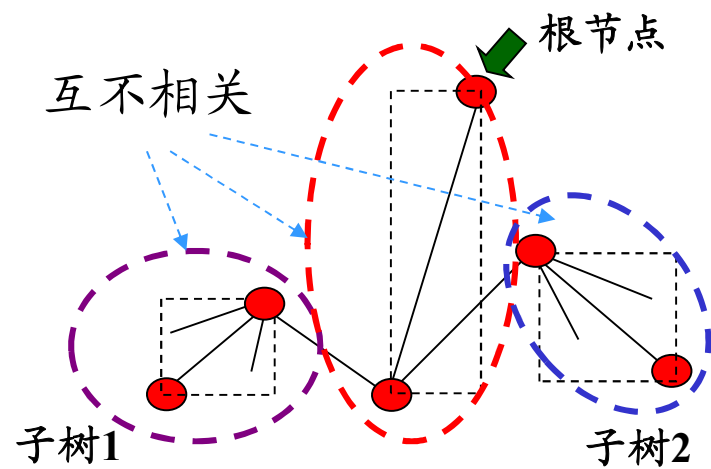
第二步: 在已有的SMST基础上, 获取一棵优化的Z-RST树。

◆ 一棵最优的Z-RST树是一棵最优的S-RST树。

J. M. Ho, G. Vijayan and C. K. Wong, A New Approach to the Rectilinear Steiner Tree Problem, IEEE Transactions on CAD, 1990, Vol. 9 No.2, pp: 185-193



满足可分离性MST树的形状组合与递归





Z-RST树构造算法描述

- ❖ 算法从SMST树的任一条边 r 开始，求解满足可分离性树 Tr 的最优化SMST树 M 。

Algorithm Z-RST(r , Tr , $CostM$, M)

input: r , Tr ; /* 线网的SMST树 Tr ，以及指定的起始边 r ;
output: $CostM$, M ; /* 所求的最优SMST树 M ，及其最小代价 $CostM$;

begin

$CostM = \infty$;

for each Z_shaped layout Z of r do /* 对边 r 的每一种Z形状循环求解;

LEAST_COST(Z , Tr , $CostTempM$, $TempM$);

 /* 求解边 r 当前Z形状下的最优SMST树;

 if $CostTempM < CostM$ then { /*寻找边 r 的所有可能Z形状最小解;

$M = TempM$;

$CostM = CostTempM$;}

 endfor;

end

递归求解

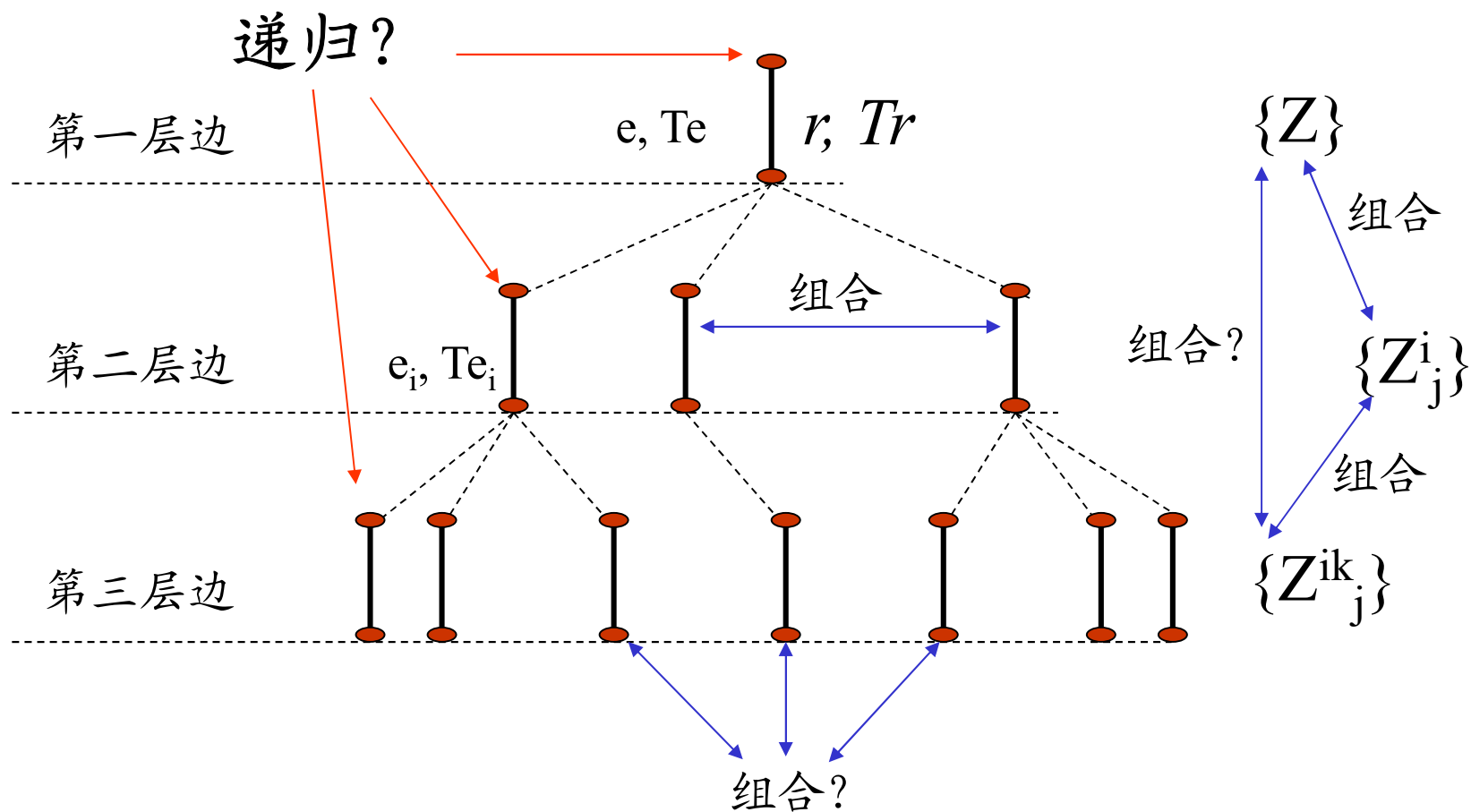


```
Function LEAST_COST(Z, Te, CostMz[e], Mz[e])
  input: Z, Te;          /* 给定起始边的形状Z, 以及起始边表示的可分离树Te。
  output CostMz[e], Mz[e]; /* 对应该形状起始边的最佳Z形树Mz[e], 以及代价。
begin
  if CHILD_EDGES_NUM(e)≠0 then { /* 计算每棵子树的最小Z形树
    for each child edge ei of e do /* 每棵子树对应的边
      for each layout Zij of ei do /* 每一种Z形状
        LEAST_COST(Zij, Tei, CostMZij[ei], Mzij[ei]) /* 子树递归
      endfor;
    endfor;
    for (each combination of the layouts containing one optimal Z-RST layout for each Tei } do
      merge layouts in the combination with the layout Z of edge e; /* 所有子树的组合
      calculate the resulting cost of merged layout; /*与根边的Z形合并
    endfor;
    CostMz[e]=minmum cost among all merged layouts; /* 取最小的合并结果
    Mz[e]=the layout corresponding to the minimum cost;}
  else (* The bottom edge is reach *){
    Mz[e]= Z;
    CostMz[e]=cost of Z;}
end
```

2024/3/24



利用改进的Prim算法求出的SMST树的分层结构



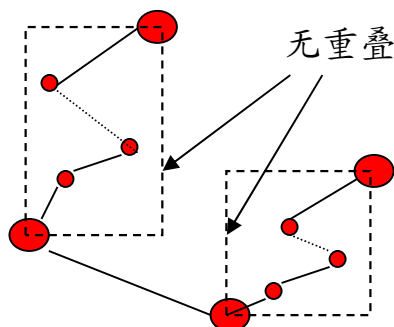


◆ 算法思想回顾

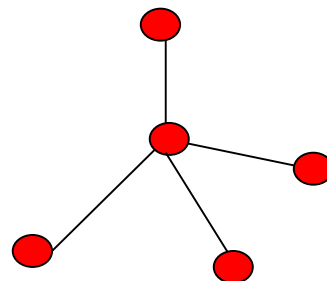
❖ 利用满足可分离树性质，减小计算规模

- “任意两条不相邻的边，布线结果不会产生相交或重叠”
- RMST树中任意两条边：不相邻，或连接同一节点；
- 布线时，不相邻的边不需要进行形状上的组合优化；
- 减少布线时的组合优化传递现象，只限定在相邻边的组合。

❖ 利用树的层次结构，采用递归方法实现动态规划求解策略



分布不同子树

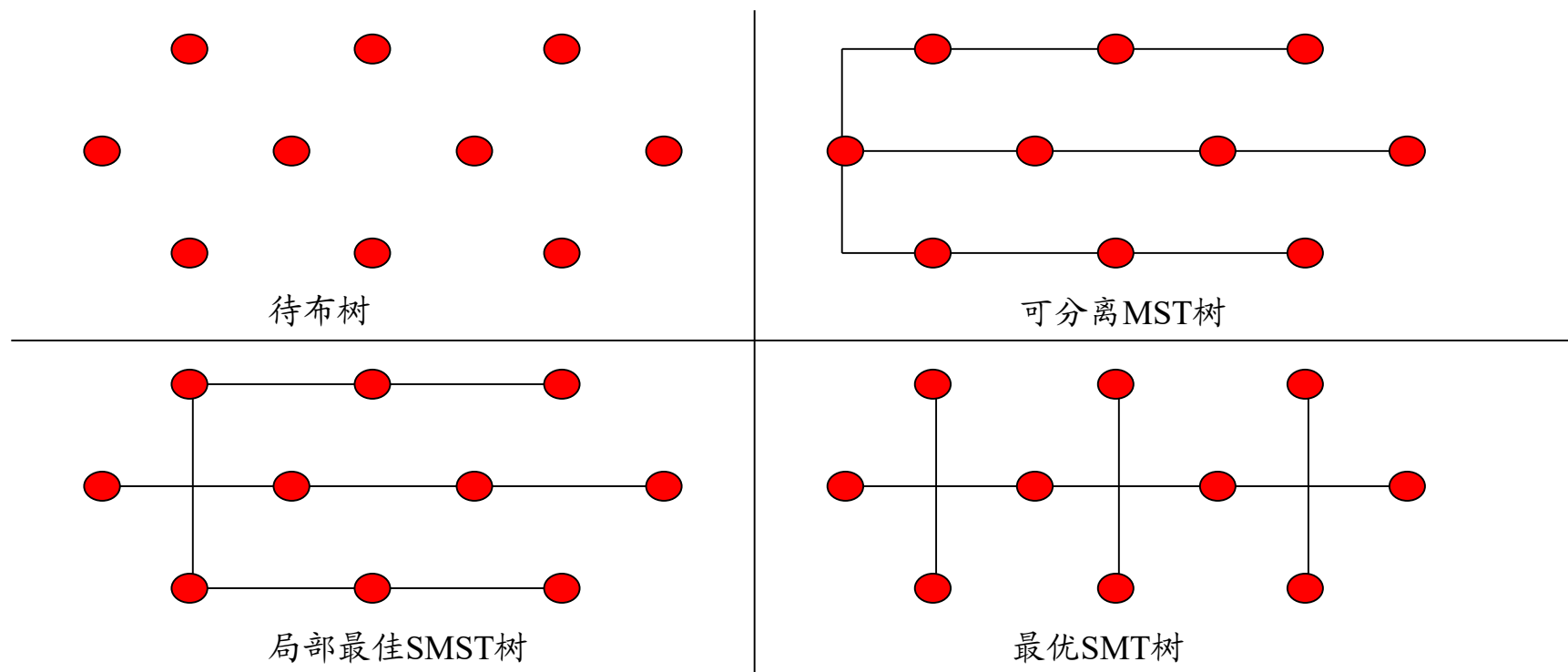


同一节点连接的边



◆ 算法性能

- ❖ 平均线长改进9%;
- ❖ 存在局部最小解。



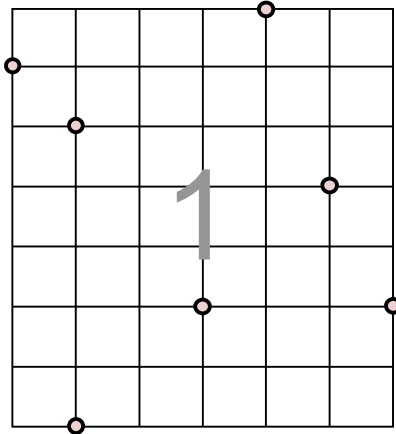
8.4.3.4 A Sequential Steiner Tree Heuristic



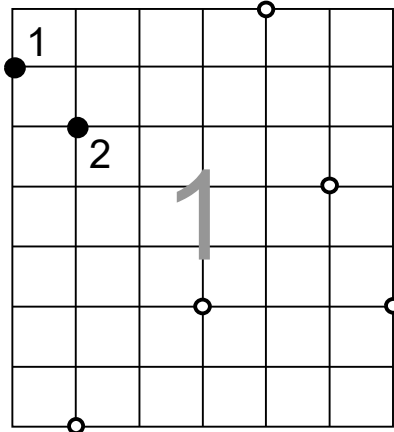
1. Find the closest (in terms of rectilinear distance) pin pair, construct their minimum bounding box (MBB)
2. Find the closest point pair (p_{MBB}, p_C) between any point p_{MBB} on the MBB and p_C from the set of pins to consider
3. Construct the MBB of p_{MBB} and p_C
4. Add the *L*-shape that p_{MBB} lies on to T (deleting the other *L*-shape). If p_{MBB} is a pin, then add any *L*-shape of the MBB to T .
5. Goto step 2 until the set of pins to consider is empty



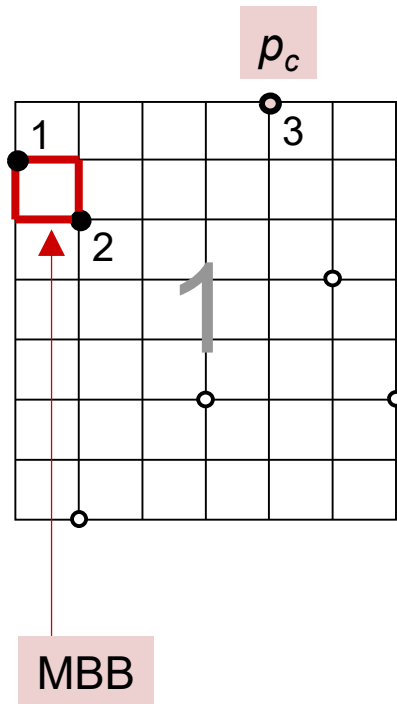
Example Sequential Steiner Tree Heuristic



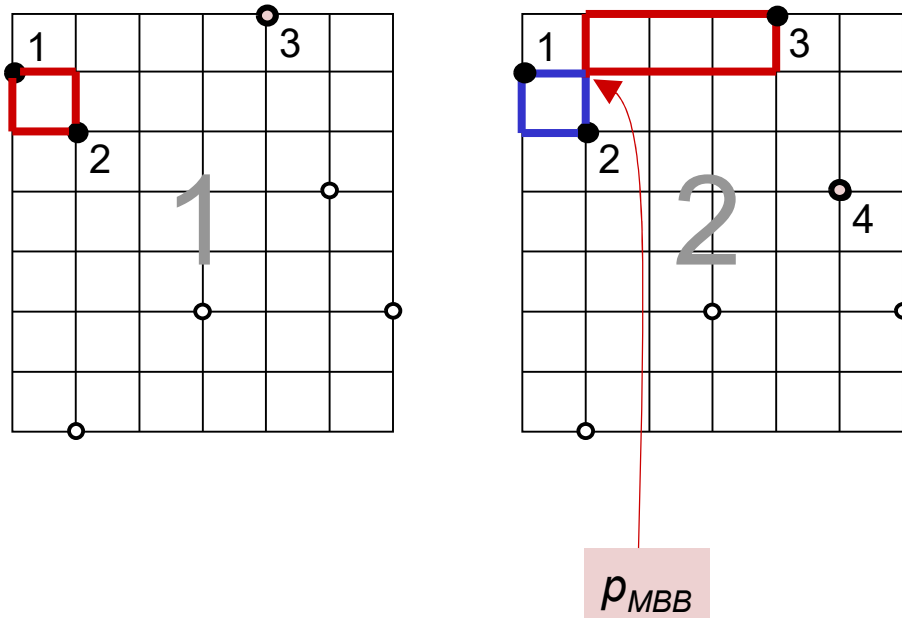
Example Sequential Steiner Tree Heuristic



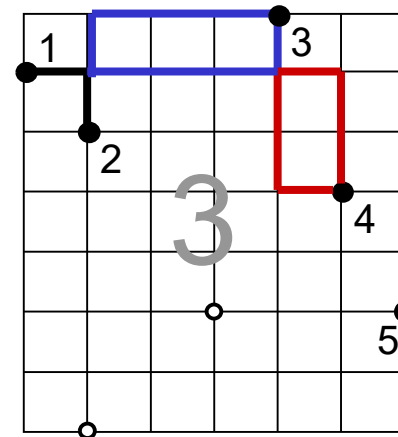
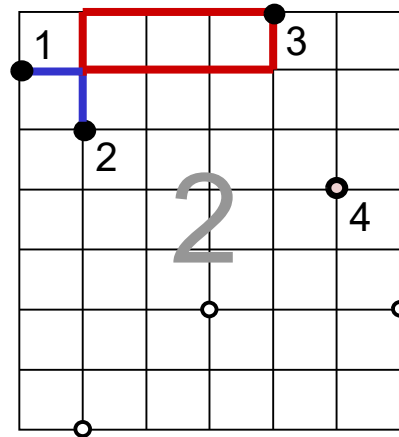
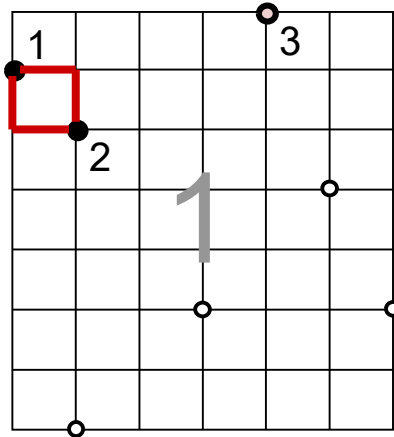
Example Sequential Steiner Tree Heuristic



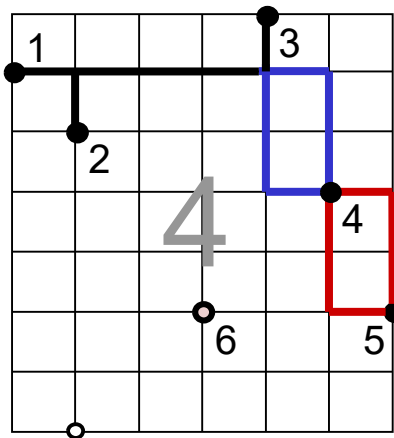
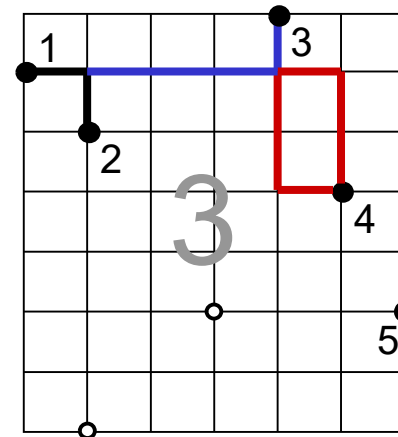
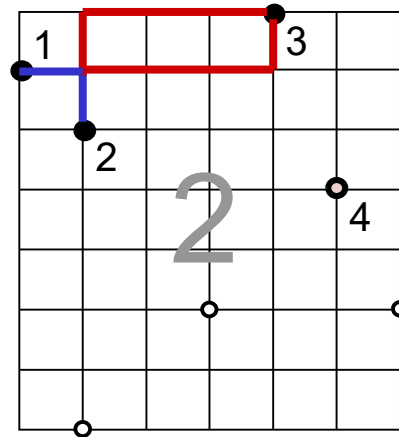
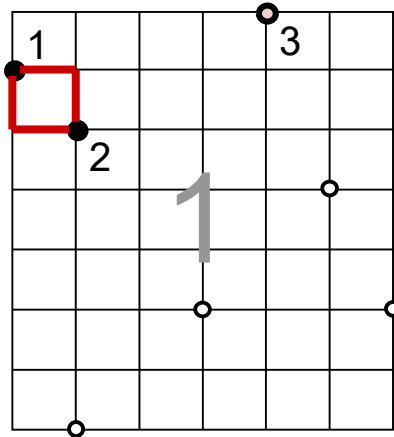
Example Sequential Steiner Tree Heuristic



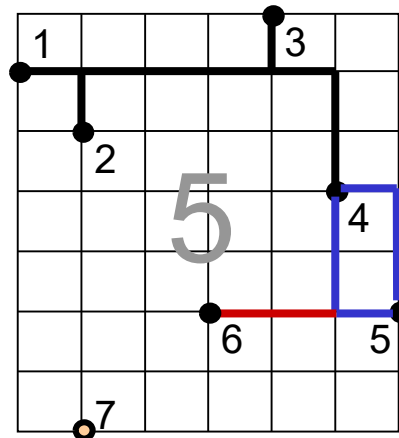
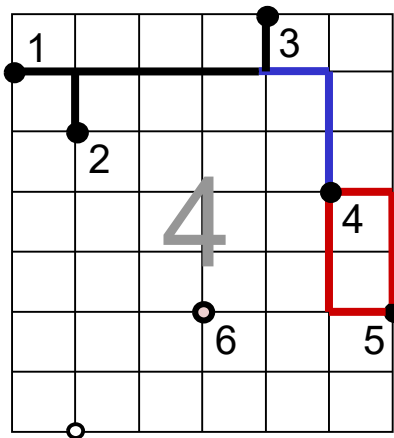
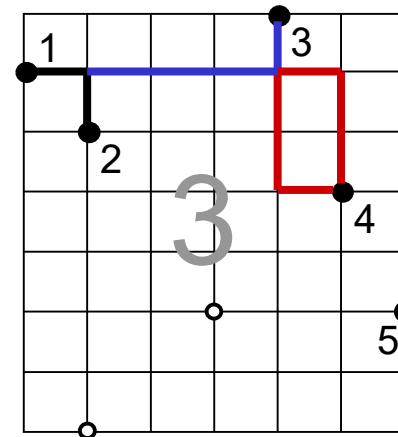
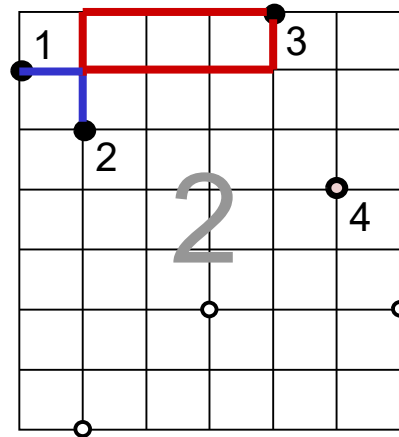
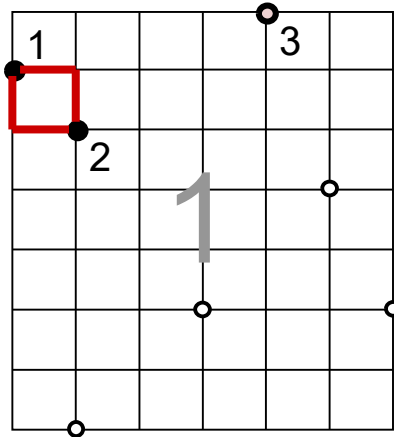
Example Sequential Steiner Tree Heuristic



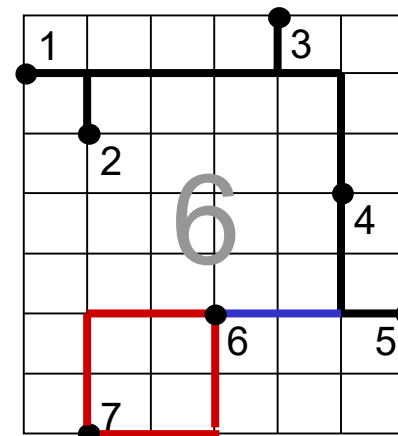
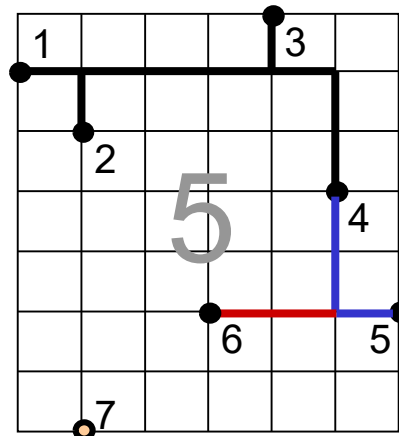
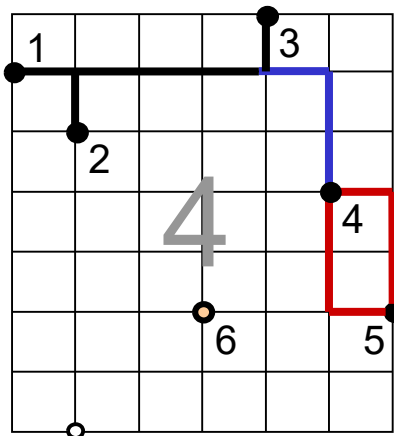
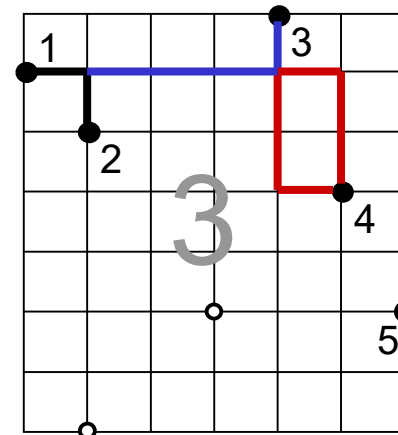
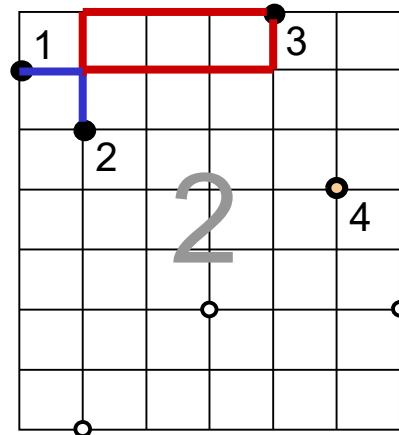
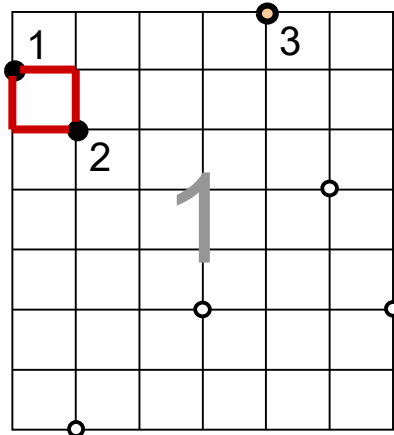
Example Sequential Steiner Tree Heuristic



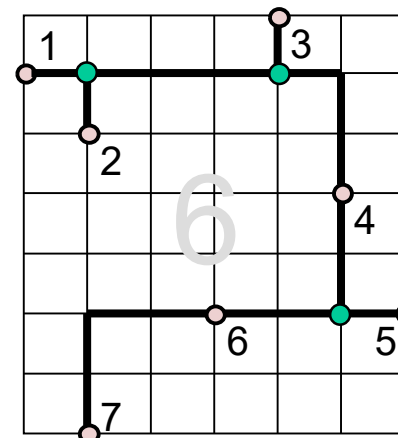
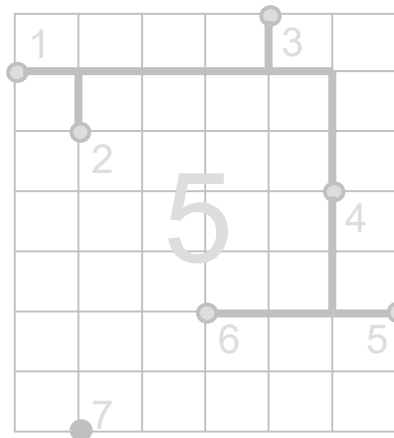
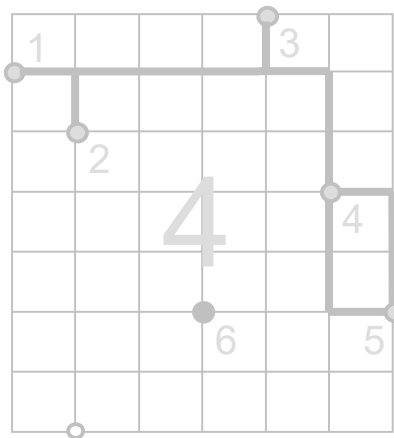
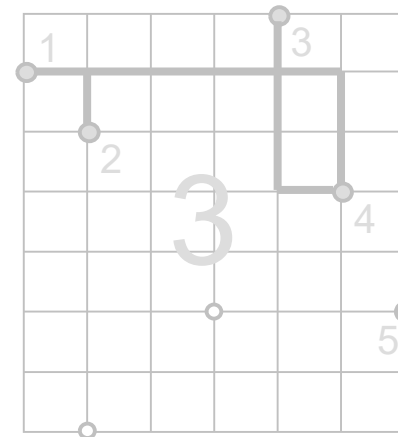
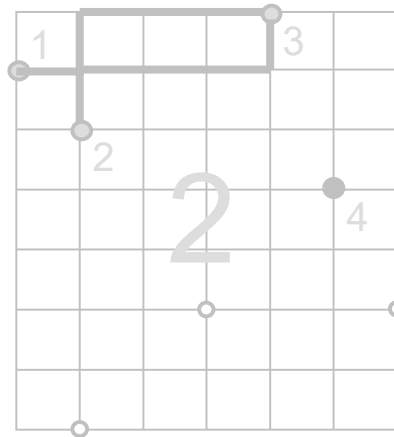
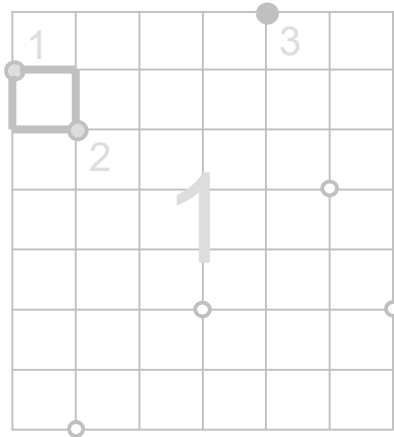
Example Sequential Steiner Tree Heuristic



Example Sequential Steiner Tree Heuristic



Example Sequential Steiner Tree Heuristic

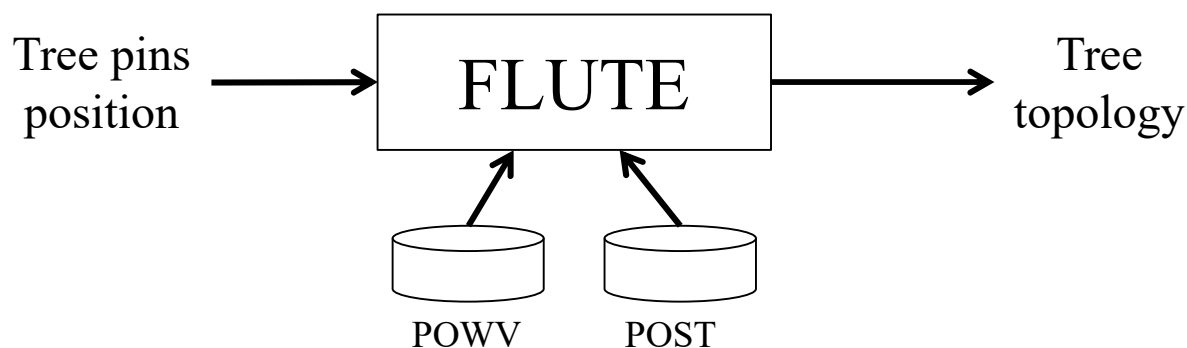




8.4.3.5 FLUTE-斯坦纳树算法

Chris Chu, FLUTE: Fast Lookup Table Based Wirelength Estimation Technique, ICCAD-2004

Chris Chu, YiuChung Wong, Fast and accurate rectilinear steiner minimal tree algorithm for VLSI design, ISPD-2005



Fast and Accurate Rectilinear Steiner Minimal Tree Algorithm for VLSI Design

Chris Chu

Iowa State University

Yiu-Chung Wong

Rio Design Automation

Overview



- ◆ A fast and accurate algorithm targeting VLSI applications
- ◆ Based on the **FLUTE** (**F**ast **L**ook**U**p **T**able **E**stimation) idea [ICCAD-04] with three new contributions
- ◆ The new algorithm is still called FLUTE

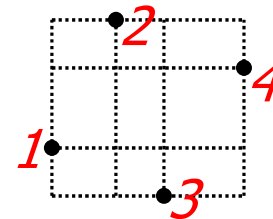
- ◆ Handling of low degree nets is extremely well:
 - Optimal and extremely efficient for nets up to 9 pins
 - Still very accurate for nets up to degree 100
- ◆ So FLUTE is especially suitable for VLSI applications:
 - Over all 1.57 million nets in 18 IBM circuits [ISPD 98]
 - More accurate than Batched 1-Steiner heuristic
 - Almost as fast as minimum spanning tree construction

Review of FLUTE



- ◆ Lookup Table based approach
- ◆ Originally proposed for wirelength estimation
- ◆ Given a net:

1. Find the group index of the net



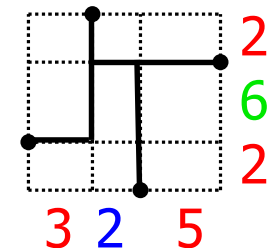
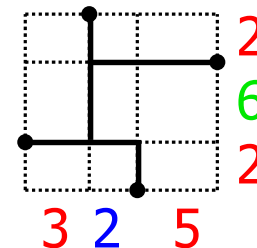
Group index:
3142

2. Get the POWVs from LUT

POWVs:
(1,2,1, 1,1,1)

(1,1,1, 1,2,1)

3. Find the segment lengths



4. Find WL for each POWV
and return the best

HPWL + 2 = 22
Return

HPWL + 6 = 26

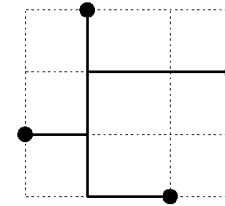
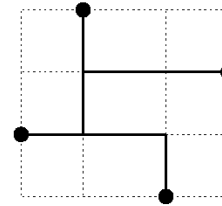
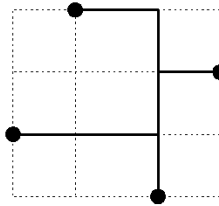
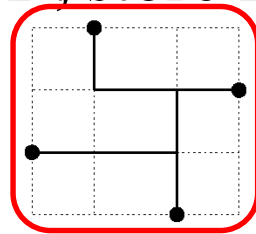
RSMT Construction



- ◆ If degree $\leq D$, store 1 routing topology for each

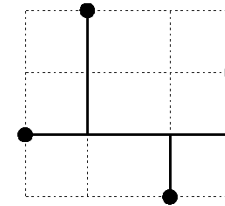
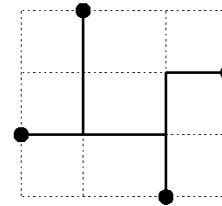
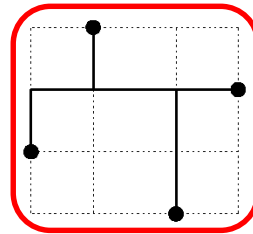
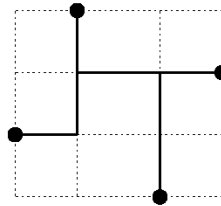
POWV
POWV

(1,2,1,1,1,1)



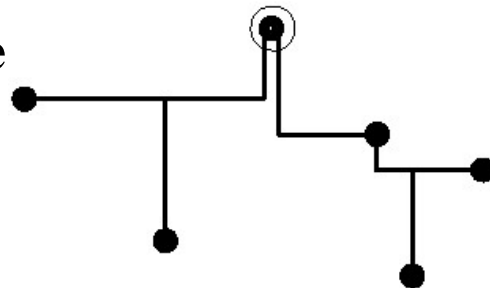
POWV

(1,1,1,1,2,1)

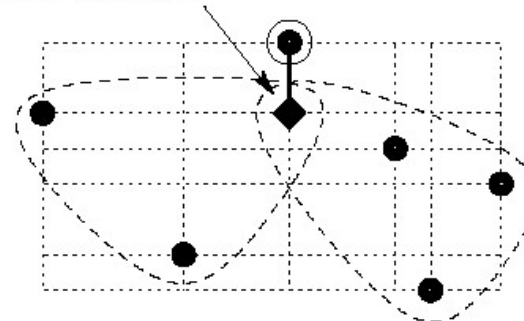


- ◆ If degree $> D$, Steiner trees of two sub-nets are
comb

- Re



Steiner node



Statistics on POWV Table



- ◆ **Boundary compaction technique to build LUT**
 - Optimal up to degree 9
 - Table size for all nets up to degree 9 is 2.75MB
- ◆ **MST-based algorithm to evaluate a net efficiently**
- ◆ **Impractical for high-degree nets**

| Degree n | # of groups $n!$ | # of POWVs in a group | | | Ave. # of op. per net |
|---------------|---------------------|-----------------------|--------|------|--------------------------|
| | | Min. | Ave. | Max. | |
| 2 | 2 | 1 | 1 | 1 | 0 |
| 3 | 6 | 1 | 1 | 1 | 0 |
| 4 | 24 | 1 | 1.667 | 2 | 1.333 |
| 5 | 120 | 1 | 2.467 | 3 | 4.267 |
| 6 | 720 | 1 | 4.433 | 8 | 10.333 |
| 7 | 5040 | 1 | 7.932 | 15 | 20.025 |
| 8 | 40320 | 1 | 15.251 | 33 | 38.561 |
| 9 | 362880 | 1 | 30.039 | 79 | 74.155 |

Experimental Setup



◆ Comparing five techniques:

- **RMST** – Prim's RMST algorithm
 - Prim [BSTJ 57]
- **RST-T** – Refined Single Trunk Tree
 - Chen et al. [SLIP 02]
- **SPAN** –Spanning graph based algorithm
 - Zhou [ISPD 03]
- **BI1S** -- Batched Iterated 1-Steiner heuristic
 - Griffith et al. [TCAD 94]
- **FLUTE** with $D=9$ and $A=3$

◆ 18 IBM circuits in the ISPD98 benchmark suite

◆ Placement by FastPlace [ISPD 04]

◆ Optimal solutions by GeoSteiner 3.1 (Warme et al.)

Benchmark Information



| Circuit | # of nets | Ave. degree | Max. degree |
|---------|-----------|-------------|-------------|
| ibm01 | 14111 | 3.58 | 42 |
| ibm02 | 19584 | 4.15 | 134 |
| ibm03 | 27401 | 3.41 | 55 |
| ibm04 | 31970 | 3.31 | 46 |
| ibm05 | 28446 | 4.44 | 17 |
| ibm06 | 34826 | 3.68 | 35 |
| ibm07 | 48117 | 3.65 | 25 |
| ibm08 | 50513 | 4.06 | 75 |
| ibm09 | 60902 | 3.65 | 39 |
| ibm10 | 75196 | 3.96 | 41 |
| ibm11 | 81454 | 3.45 | 24 |
| ibm12 | 77240 | 4.11 | 28 |
| ibm13 | 99666 | 3.58 | 24 |
| ibm14 | 152772 | 3.58 | 33 |
| ibm15 | 186608 | 3.84 | 36 |
| ibm16 | 190048 | 4.10 | 40 |
| ibm17 | 189581 | 4.54 | 36 |
| ibm18 | 201920 | 4.06 | 66 |
| All | 1570355 | 3.92 | 134 |

Accuracy Comparison



| Circuit | Wirelength error (%) | | | | |
|---------|----------------------|-------|-------|-------|-------|
| | RMST | RST-T | SPAN | BIIS | FLUTE |
| ibm01 | 4.092 | 1.942 | 0.258 | 0.098 | 0.076 |
| ibm02 | 5.849 | 3.750 | 0.335 | 0.117 | 0.221 |
| ibm03 | 4.637 | 1.925 | 0.267 | 0.099 | 0.060 |
| ibm04 | 4.048 | 1.270 | 0.207 | 0.061 | 0.050 |
| ibm05 | 4.489 | 3.155 | 0.330 | 0.111 | 0.086 |
| ibm06 | 5.964 | 2.846 | 0.378 | 0.137 | 0.090 |
| ibm07 | 4.720 | 1.693 | 0.266 | 0.087 | 0.042 |
| ibm08 | 4.784 | 4.446 | 0.325 | 0.119 | 0.250 |
| ibm09 | 4.331 | 1.813 | 0.236 | 0.075 | 0.039 |
| ibm10 | 4.104 | 1.787 | 0.253 | 0.077 | 0.052 |
| ibm11 | 4.018 | 1.215 | 0.218 | 0.062 | 0.026 |
| ibm12 | 3.783 | 1.912 | 0.246 | 0.074 | 0.056 |
| ibm13 | 4.782 | 2.001 | 0.293 | 0.106 | 0.049 |
| ibm14 | 3.908 | 1.541 | 0.220 | 0.069 | 0.036 |
| ibm15 | 4.201 | 1.945 | 0.265 | 0.076 | 0.060 |
| ibm16 | 4.231 | 2.426 | 0.278 | 0.089 | 0.061 |
| ibm17 | 3.905 | 2.189 | 0.265 | 0.080 | 0.052 |
| ibm18 | 4.432 | 3.352 | 0.298 | 0.098 | 0.133 |
| All | 4.232 | 2.263 | 0.269 | 0.085 | 0.070 |

Runtime Comparison



All experiments
are carried out
on a 750 MHz Sun
Sparc-2 machine

| Circuit | Runtime (s) | | | | |
|---------|-------------|-------|-------|---------|-------|
| | RMST | RST-T | SPAN | BIIS | FLUTE |
| ibm01 | 0.03 | 0.55 | 3.68 | 72.48 | 0.06 |
| ibm02 | 0.06 | 0.78 | 7.17 | 108.93 | 0.15 |
| ibm03 | 0.05 | 1.05 | 7.04 | 140.00 | 0.11 |
| ibm04 | 0.06 | 1.22 | 7.29 | 162.15 | 0.09 |
| ibm05 | 0.08 | 1.15 | 11.95 | 146.23 | 0.22 |
| ibm06 | 0.06 | 1.38 | 9.94 | 176.88 | 0.16 |
| ibm07 | 0.09 | 1.94 | 13.76 | 244.50 | 0.20 |
| ibm08 | 0.14 | 2.07 | 18.58 | 266.02 | 0.41 |
| ibm09 | 0.12 | 2.44 | 17.14 | 308.61 | 0.23 |
| ibm10 | 0.16 | 3.00 | 26.00 | 383.44 | 0.39 |
| ibm11 | 0.14 | 3.17 | 20.08 | 411.29 | 0.23 |
| ibm12 | 0.18 | 3.07 | 28.61 | 394.68 | 0.44 |
| ibm13 | 0.19 | 3.88 | 28.37 | 504.71 | 0.38 |
| ibm14 | 0.29 | 6.00 | 44.21 | 775.54 | 0.60 |
| ibm15 | 0.40 | 7.37 | 63.72 | 949.99 | 0.95 |
| ibm16 | 0.43 | 7.57 | 77.27 | 968.36 | 1.03 |
| ibm17 | 0.50 | 7.71 | 92.85 | 973.79 | 1.35 |
| ibm18 | 0.49 | 8.03 | 79.96 | 1036.36 | 1.31 |
| All | 0.42 | 7.51 | 67.1 | 965.1 | 1 |

2024/3/24
Normalized →



8.4.4 总体布线算法

□常用的总体布线方法与策略:

- ❖ Negotiation-based GR
- ❖ 迭代改善（串行）布线策略和拆线重布方法;
- ❖ 基于整数规划的总体布线方法;
- ❖ 基于网络流的总体布线方法;
- ❖ 层次迭代总体布线方法。

8.4.4.1 迭代改善（串行）布线和拆线重布算法



◆ 特点

- ❖ 简单、实用；
- ❖ 适用于多种布图模式，特别是门阵列布图模式。

◆ 问题定义

- ❖ 布线需求：通道容量固定，要求确保布通率，实现布线通道走线均匀。
- ❖ 优化方法：限制总的溢出量，或是调整最大溢出量。
- ❖ 定义：溢出量 $F_i = \text{所需资源量 } N_i - \text{固有资源 } S_i$ ；
- ❖ 总体布线的目标：寻找一个合理的布线分配，使得

$$\text{Minimize } \sum_{\forall i \in E} F_i ;$$

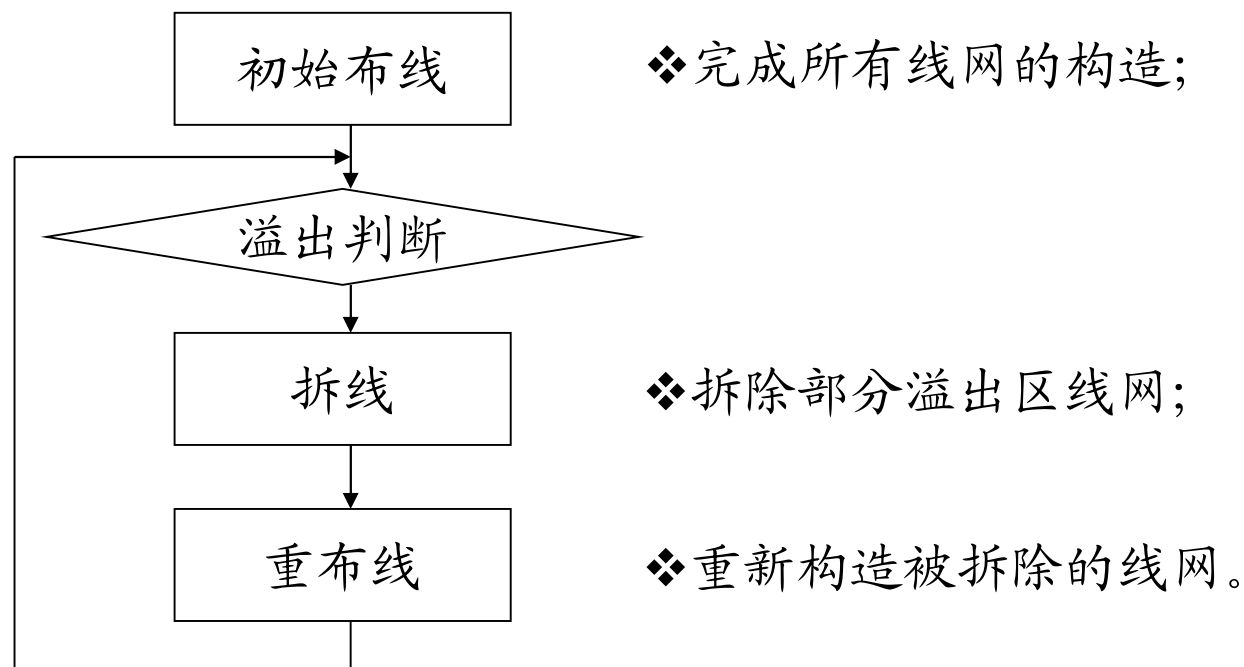
$$\text{或者 } \text{Minimize } \text{Max} \{F_i\} .$$



◆ 布线策略说明

- ❖ 同传统的串行布线算法在策略上有所不同，主要体现在布线策略对布线顺序的依赖程度上。

◆ 算法流程

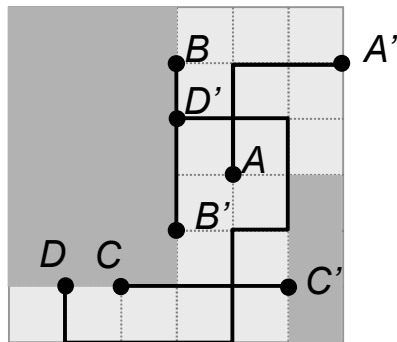


Rip-Up and Reroute (RRR)

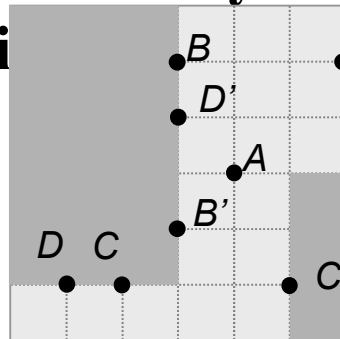


- ◆ **Rip-up and reroute (RRR)** framework: focuses on hard-to-route nets
- ◆ **Idea:** allow temporary violations, so that all nets are routed, but then iteratively remove some nets (**rip-up**), and route them di

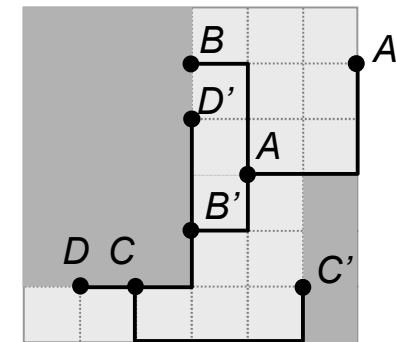
Routing without
allowing violations



WL = 21



Routing with allowing
violations **and RRR**



WL = 19



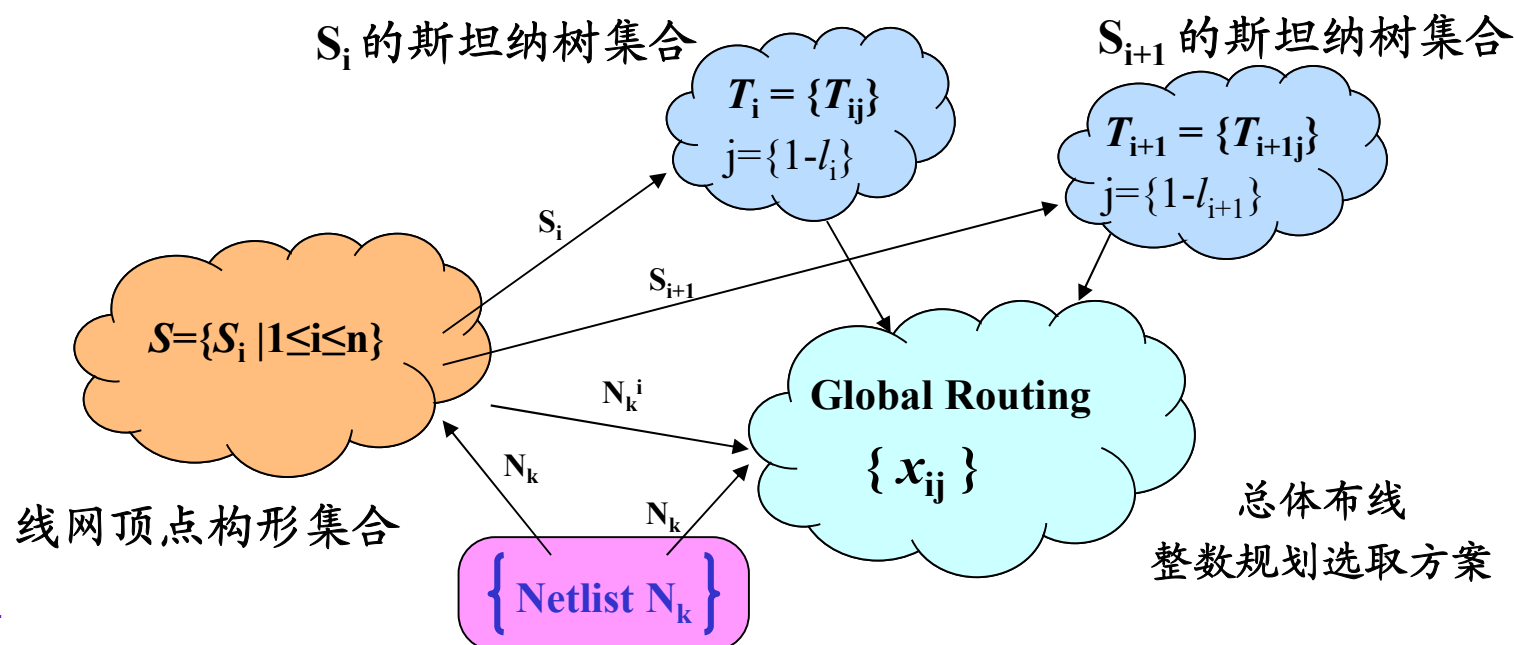
8.4.4.2 基于整数规划的方法

❖ 算法的出发点

- 解决同时考虑所有线网的布线问题。

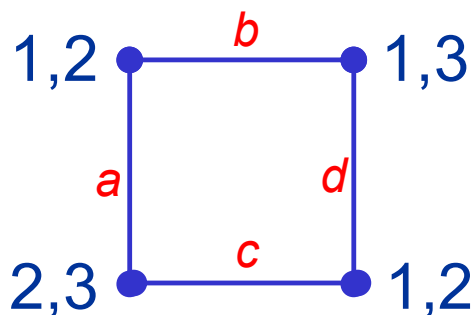
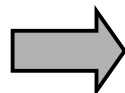
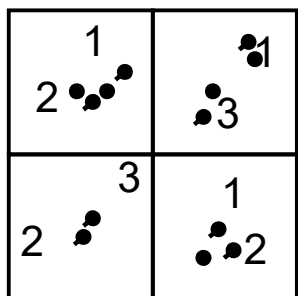
❖ 算法策略

- 从线网布线方案选取的角度，把总体布线问题看成是每一条线网从候选斯坦纳树集合中，选取哪一种斯坦纳树构形的问题。
将问题转换成整数规划问题。



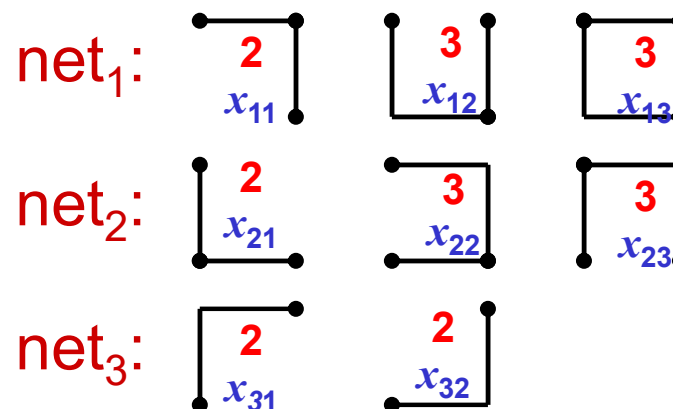


Concurrent Approach: Example



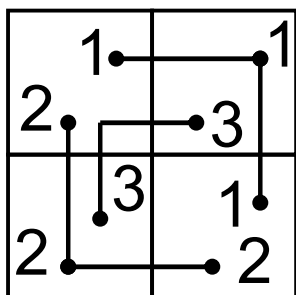
$$C_a = C_b = C_c = C_d = 2$$

Possible trees:



Netlist: net₁, net₂, net₃

Solution



$$\begin{aligned} \text{Min. } & 2x_{11} + 3x_{12} + 3x_{13} + 2x_{21} + 3x_{22} + 3x_{23} + 2x_{31} + 2x_{32} \\ \text{s.t. } & \begin{cases} x_{11} + x_{12} + x_{13} = 1; & x_{12} + x_{13} + x_{21} + x_{23} + x_{31} \leq C_a \\ x_{21} + x_{22} + x_{23} = 1; & x_{11} + x_{22} + x_{23} + x_{31} \leq C_b \\ x_{31} + x_{32} = 1; & x_{12} + x_{22} + x_{23} + x_{32} \leq C_c \\ x_{ij} = 0 \text{ or } 1 \quad \forall i, j; & x_{11} + x_{12} + x_{22} + x_{23} + x_{32} \leq C_d \end{cases} \end{aligned}$$

2024/3/24



- Consider all the nets simultaneously.
- Formulate as an integer program.
- Given:

| <i>Nets</i> | <i>Set of possible routing trees</i> |
|-------------|--------------------------------------|
| net 1 | $T_{11}, T_{12}, \dots, T_{1k_1}$ |
| \vdots | \vdots |
| net n | $T_{n1}, T_{n2}, \dots, T_{nk_n}$ |

L_{ij} = Total wire length of T_{ij}

C_e = Capacity of edge e

- Determine variable x_{ij} s.t. $x_{ij} = 1$ if T_{ij} is used
 $x_{ij} = 0$ otherwise.



基于整数规划的总体布线问题

❖ 输入:

- 每线网所有/部分候选斯坦纳树构形的集合;
- 布局结果;
- 布线通道容量。

❖ 目的:

- 在布线通道容量允许的范围内, 为每条线网选择一条斯坦纳树构形, 作为该线网的拓扑走线结构。

❖ 目标:

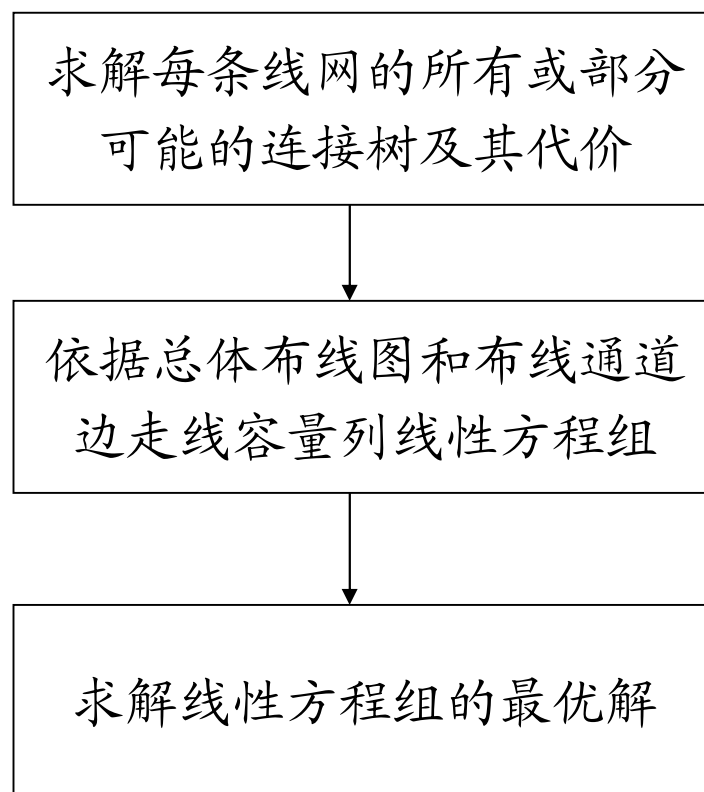
- 最小总线长;
- 布线通道走线均匀。

目标函数: $\min \text{sum of total WL}(net)$

约束函数: $D(g) \leq C(g)$



基于整数规划的总体布线流程





总体布线整数规划问题为:

$$\text{Minimize} \quad \sum_{i=1}^n \sum_{j=1}^{l_i} l(T_{ij}) * x_{ij}$$

$$\text{Subject to:} \quad \sum_{j=1}^{l_i} x_{ij} = n_i, \quad i = 1, \dots, n \quad (\text{completeness constraints})$$

$$\sum_{(ij), e \in T_{ij}} x_{ij} + x_e = c(e), \quad e \in E \quad (\text{capacity constraints})$$

其中:

- $S = \{S_i | 1 \leq i \leq n\}$ 是在总体布线图中的线网顶点子集的集合, n_i 表示对应于 S_i 线网类型的线网数;
- $T = \{T_{ij}, j = 1, 2, \dots, l_i, i = 1, 2, \dots, n\}$ 是相应 S_i 的斯坦纳树集合, $l(T_{ij})$ 是斯坦纳树 T_{ij} 的长度。
- x_e 是边 e 的松弛变量, 表示 e 的冗余容量;
- 整数变量 x_{ij} 表示用 T_{ij} 布线的线网数, S_i 是一个线网类型, T_{ij} 是对应 S_i 的一种布线结果。



❖ 算法分析

➤ 问题的规模

- ✓ 线网类型——可能的斯坦纳树数量，无法列出线网所有的斯坦纳树。
- ✓ 总体布线图中边比较多，带来的约束条件也多。

➤ 问题的难度

整数规划问题——NP-hard。

❖ 解决方法

- 采用层次式的方法将总体布线整数规划问题分解成多个规模足够小并能精确求解的问题。然后，合并这些解，得到总体布线问题的近似解。

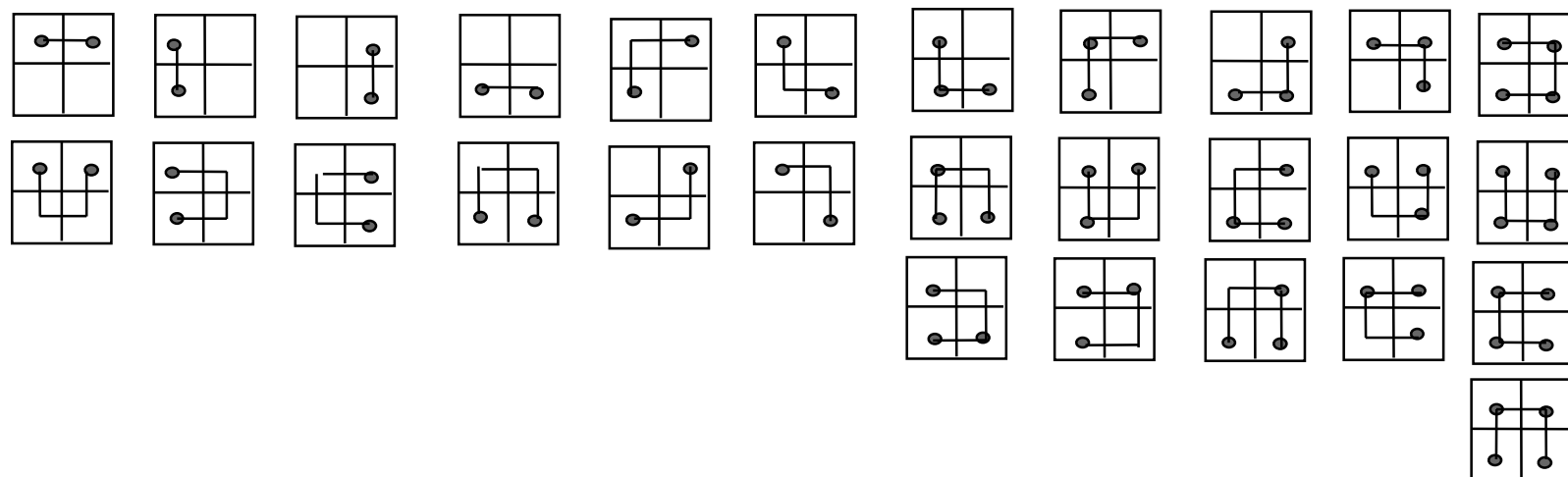


1、2×2单元上的布线问题

❖ 2×2单元上的十一种线网类型：

| K(1) | K(2) | K(3) | K(4) | K(5) | K(6) | K(7) | K(8) | K(9) | K(10) | K(11) |
|------|------|------|------|------|------|------|------|------|-------|-------|
| | | | | | | | | | | |

❖ 可能的布线方案



➤ 每一类型有2-4种可能的布线方案

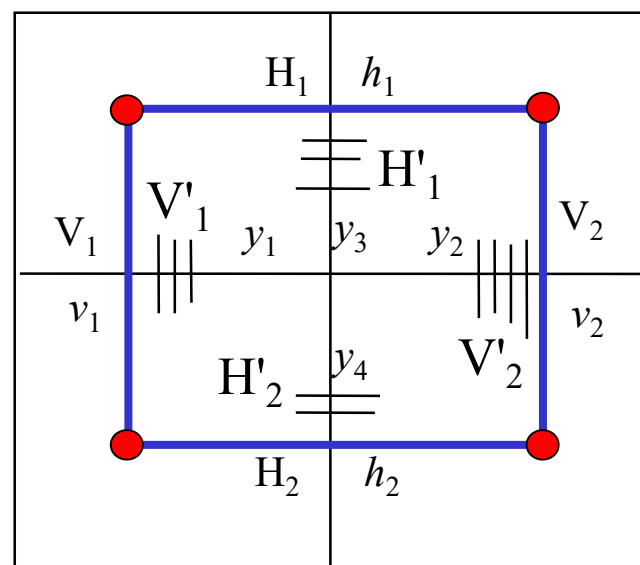


❖ 2×2单元上布线整数规划问题

- 四个内部单元的总体布线图;
- 垂直布线通道 V_1 和 V_2 , 水平布线通道 H_1 和 H_2 ;
- 垂直布线通道容量 v_1 和 v_2 , 水平布线通道 h_1 和 h_2 。

❖ 布线需求

- 穿过垂直布线通道线网集合 V'_1 和 V'_2 , 穿过水平布线通道线网集合 H'_1 和 H'_2 ;
- 垂直布线通道松弛容量 y_1 和 y_2 , 水平布线通道 y_3 和 y_4 。





❖ 2×2单元上总体布线整数规划问题形式化描述:

Maximize $\sum_{i=1}^4 y_i$ 寻找剩余轨道数最大解

Subject to

$$\sum_{i,j \in V'_1} x(i,j) + y_1 = v_1 \quad \text{布线通道容量约束}$$

$$\sum_{i,j \in H'_1} x(i,j) + y_2 = h_1$$

$$\sum_{i,j \in V'_2} x(i,j) + y_3 = v_2$$

$$\sum_{i,j \in H'_2} x(i,j) + y_4 = h_2$$

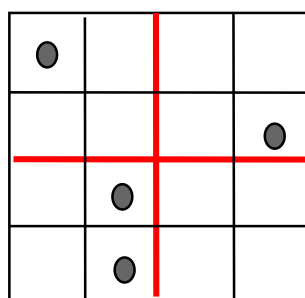
$$x(i,j) \geq 0, \quad \forall i,j$$

$x(i,j), y_1, y_2, y_3, y_4$ 为正整数

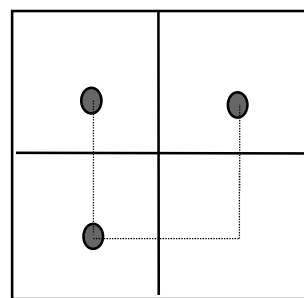


2、自顶向下策略

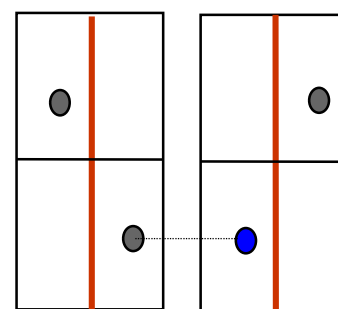
- ❖ 算法策略：自顶向下进行二划分，每一级形成若干 2×2 单元格局，对它们分别进行整数规划，最后合并分解结果，形成总的布线方案。
- ❖ 新的一级划分时，原区域分解带来的边界连接处理，如图c和图f。



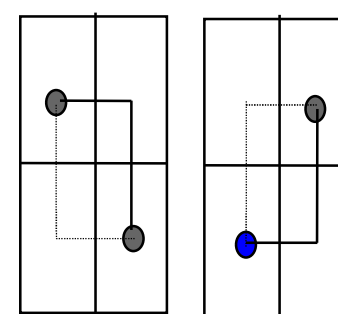
(a) 顶层划分



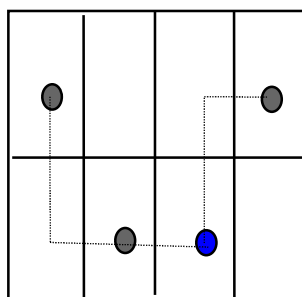
(b) K(8)



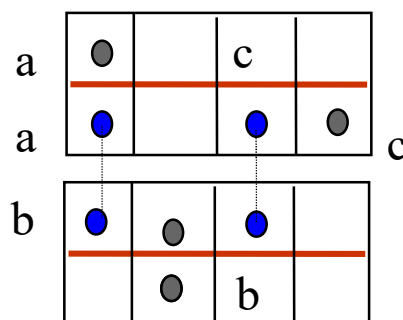
(c) 二级划分



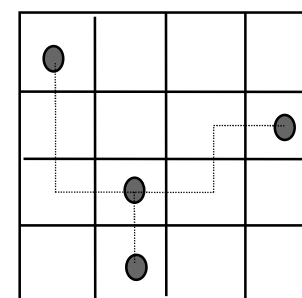
(d) K(6) K(5)



(e) 二级构形



(f) 三级划分

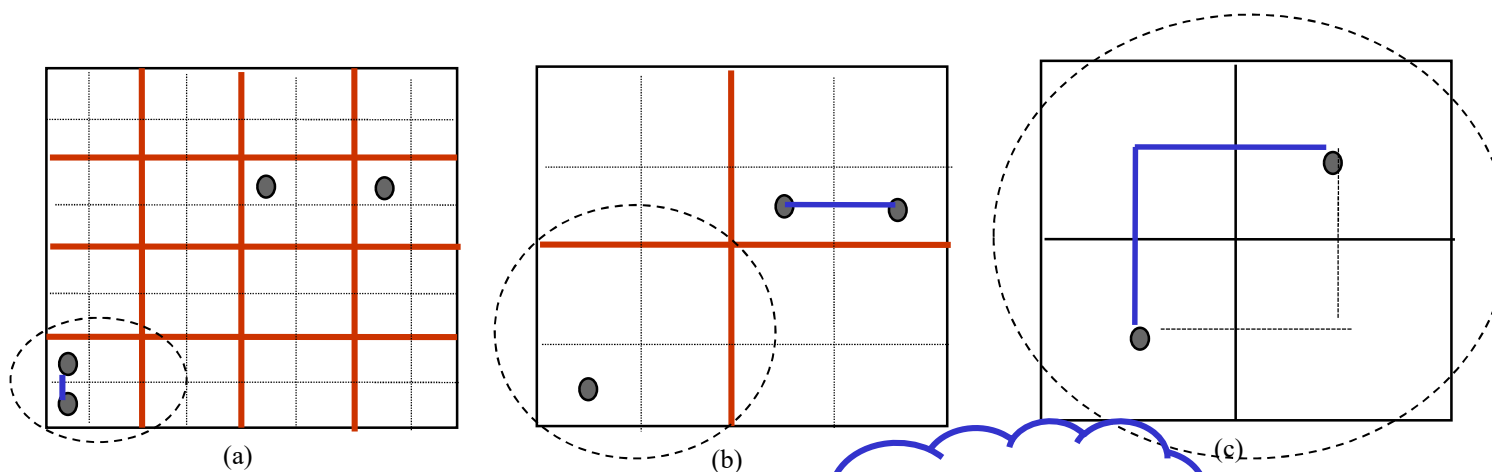


(g) 最终构形



3、自底向上策略

- ❖ 算法策略：自底向上进行 2×2 网格的合并，在逐级合并时，对相应的 2×2 网格进行整数规划，确定该网格的走线格局。
- ❖ 在自底向上的合并过程中，底层网格的线网走线信息被抽象在上层的网格系中，构成新的一级线网需求信息。



如何落实到原始的网格上？



8.4.4.3 基于网络流的总体布线算法

目的：解决总体布线问题中面临的两个主要难题。

- ❖ 布线通道拥挤的不可预见性；
- ❖ 总体布线结果对线网布线顺序的依赖性。

用网络流建模的思想：

- ❖ 总体布线：把有限的布线资源合理地分配给各个线网的布线需求。
- ❖ 借鉴网络流的思想建立总体布线模型：
 - 两种特殊的节点：source和sink；
 - 流的需求：总体布线图上商品从source节点流向sink节点；
 - 边的容量：总体布线图的边允许流过的最大容量；
 - 最大流建模：不超过边容量情况下流过最大的流量方案；
 - 最小代价建模：以最小代价完成流需求。



R. C. Carden IV and C. K. Cheng, A Global Router Using an Efficient Approximate Multicommodity Multiterminal Flow Algorithm, Proc. of IEEE/ACM Design Automation Conference, 1991, pp:316-321

Multi-Commodity Flow

- **Instance:** A directed graph $G = (V, E)$, **edge capacities** $c(e)$ and **edge cost** $l(e)$. And **demands** $d_i(v)$ for vertices $v \in V$ and for k commodities $i = 1, \dots, k$
- **Configurations:** all sequences of edge labelings $f_i \rightarrow \mathbb{R}^+$, $i = 1, \dots, k$
- **Solutions:** all sequences of edge labelings that satisfy **Capacity Constraints, Flow-Conservation Constraints**.
- **Minimize:**

$$l(f) = \sum_{e \in E} (l(e) \times \sum_{i=1}^k f_i(e))$$



8.4.4.4 Modern Global Routing

- General flow for modern global routers, where each router uses a unique set of optimizations:

